

รายการอ้างอิง

1. Sabins, F.F. Remote Sensing: principles and interpretation. San Francisco: W. H. Freeman, 1978.
2. Lillesand, T.M., and Kiefer, R.W. Remote Sensing and Image interpretation, pp.648-723. New York: John Wiley & Sons, 1994.
3. Lin, Q., and Allebach, J.P. Combating speckle in SAR Images: Vector filtering and sequential classification based on multiplicative noise model. pp.634-638. IEEE Transactions on Geoscience and Remote Sensing, vol.28, no.4, 1990.
4. Xia, Z.G., and Henderson, F.M. Understanding the Relationship Between Radar Response Patterns and the Bio- and Geophysical Parameters of Urban Areas. IEEE Transactions on Geoscience and Remote Sensing, vol.35, no.1, January, 1997.
5. Lozano-Gurcia, D.F., and Hoffen, R.M. Synergistic effects of combined land sat-TM and SIR-B data for forest resources assessment. pp.2677, International Journal Remote Sensing, vol. 14,no. 14, 1993.
6. Dobson, M.C.; Pience, L.E., and Ulaby, F.T. p. Knowledge-Based Land-Cover Classification using BRS-1/IBRS-1 SAR composites p.83-99, IEEE Transactions on Geoscience and Remote Sensing, vol.39, no. 1, January, 1996.
7. Hisoswa, H. Degree of Polarization of Radar Backscatters from a Mired Target. pp.466-470. IEEE Transactions on Geoscience and Remote Sensing, vol.35, no.2, March, 1997.
8. Yuch, S.H., and others. Sea Ice Identification Using Dual-Polarized Ku-Band Scatterometer Data. pp.560-569. IEEE Transactions on Geoscience and Remote Sensing, vol.35, no.3, May, 1997.
9. Ulaby, F.T.; Whitt, M.W., and Sarabadi, K., AVNA-based Polarimetric Scatterometers. pp.6-17. IEEE Antennas and Propagation magazine, October, 1990.

10. Balanis, C.A. Advanced Engineering Electromagnetics. pp.578-579. USA: John Wiley & Son, 1989.
11. Trerett, J.W. Imaging Radar for Resources Surveys. pp.43-52. New York & London:Chapman & Hall, 1986.
12. Skolnic, M.I. Introduction to Radar systems San Francisco: McGraw-Hill, 1980.
13. รีวัติก้า อันน์ตุกุล. การพัฒนาชุดทดลองเพื่อการศึกษาปัญหาการเปลี่ยนแปลงทางอากาศ เรียนของคลินแม่เหล็กไฟฟ้าเมืองจากฝัน วิทยานิพนธ์ปริญญามหาบัณฑิต ภาควิชาภิภาระไฟฟ้า บัณฑิตวิทยาลัย จุฬาลงกรณ์มหาวิทยาลัย, 2539.
14. ราชศาสตรราษฎร์ ดร.กฤชภูร สัมพันธรักษ์. พิชีร์ (Guide for Field For Crops in the Tropics and the Subtropics). แปลโดย Litzenbuger, S.C. กรุงเทพมหานคร: สำนักพิมพ์ไทยวัฒนาพานิช, 2531.
15. Pierce, L.E., and others. Knowledge-based Clasification of Polarimetric SAR Images. pp.561-572. IEEE Transactions on Geoscience and Remote Sensing, vol.32, no.5, September, 1997.
16. Lo, Y.T., and Lee, S.W. Antennas Handbook III. pp.22.122-22.154 Van Nostrand Reinhold,1993.
17. ชาญชัย วิทยสุภาคีต. การสร้างอนุกรมฟูเรียร์และฟูเรียร์ทرانส์ฟอร์ม. ในรายงานการประชุมทางวิศวกรรมไฟฟ้าครั้งที่ 20. หน้า 644-648. 13-14 พฤศจิกายน 2540 โรงแรมโซ-ลทิวิน หาดเจ้าสำราญ ถนนพะรະวน 6 ตั๊ดใหม่ กรุงเทพมหานคร.
18. Hagan, M.T.; Demuth, H.B., and Beak, M. Neural Network Design. pp.2.1-2.23. PWS Publishing Company, 1996.
19. สถาบันวิจัยพิชีร์ เอกสารวิชาการพันธุ์พิชีร์ 2539 กรมวิชาการเกษตร ก阙กระทรวงเกษตรและสหกรณ์



ภาคผนวก

สถาบันวิทยบริการ จุฬาลงกรณ์มหาวิทยาลัย

ภาคผนวก ก

วิธีการคำนวณขนาดปากและของสายօกากาศย่านชี

การออกแบบช่องเปิดของปากแಡกรสำหรับสายอากาศยานซี ที่ให้เป็นสายอากาศสั้นและรับในวิทยานิพนธ์นี้ออกแบบตามวิธีของ Aurand ซึ่งไม่คำนึงถึงความสูญเสียภายในแต่ละสายอากาศ ร้านค้าออกแบบแบบสายอากาศปากแಡกรห้องพีระมิต

1. คำนวณ a, จากสมการต่อไปนี้

$$a_1^4 - a_0 a_1^3 + \frac{3G\lambda^2 b_0}{8\pi\varepsilon} a_1 - \frac{3G^2\lambda^4}{32\pi^2\varepsilon^2} = 0 \quad \dots \dots \dots \quad (n.1)$$

$$\text{โดยที่ } \lambda \left(\frac{G}{2\pi}\right)^{\frac{1}{2}} \leq a_1 \leq \lambda \left(\frac{G}{\pi}\right)^{\frac{1}{2}} \quad \dots \dots \dots \quad (n.2)$$

สำหรับ G λ และ ε หมายถึงอัตราขยายของสายอากาศ ความยาวคลื่น และประสิทธิภาพของซอง เปิดตามลำดับ

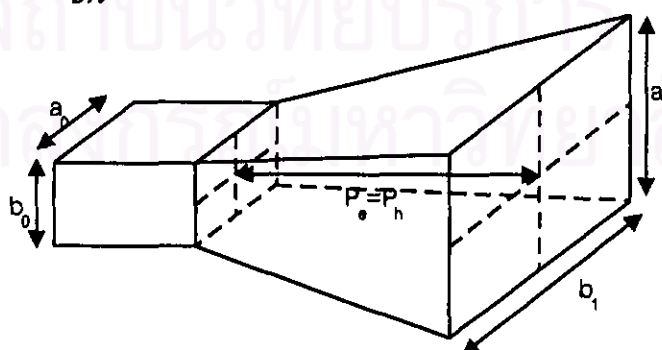
โดยที่ G กำหนดไว้ที่ 15 เดซิเบล และความยาวคลื่นที่ 4 จิกะเฮริตต์และมีค่าเท่ากับ 0.5

2. ค่านวน b, โดยอาศัยความสัมพันธ์ระหว่างอัตราขยายและช่องเปิดตามสมการต่อไปนี้

$$G = \frac{4\pi \epsilon a_1 b_1}{\lambda^2} \quad \dots \dots \dots \quad (n.3)$$

3. ความยาวตามแกนจากคอกถึงปากแต่คำนวณจากความสัมพันธ์ข้างล่างนี้

$$P_e = P_h = \frac{a_1(a_1 - a_0)}{3\lambda} \quad \dots \dots \dots \quad (n.4)$$



รูป ก.1 สายอากาศปากแตรทองพีระมิด

ภาคผนวก ๑

วิธีการคำนวณอัตราขยายตัวยิ่งๆ อาศัยจากสูตรสองตัว

การหาอัตราขยายของสายอากาศด้วยวิธีนี้ อาศัยสูตรการส่งผ่านของ Friis (Friis transmission formula) ดังต่อไปนี้

$$G = \frac{1}{2} \left[20 \log_{10} \left(\frac{4\pi R}{\lambda} \right) + 10 \log_{10} \left(\frac{P_r}{P_t} \right) \right] \quad \dots \dots \dots \quad (1.1)$$

โดยที่ R P, และ P, คือระยะห่างระหว่างสายอากาศทั้งสองต้น กำลังของคลื่นที่รับได้ และกำลังของคลื่นที่ส่ง

สายอาชากสภายังได้การทดสอบนี้ทั้งสองด้านถูกจัดวางให้ห่างกันตามเกณฑ์สนามไกล (far field criterion) สำหรับสถานที่ที่ใช้ทดสอบคือบริเวณสนามหน้าศูนย์คอมพิวเตอร์ คณะวิศวกรรมศาสตร์ จุฬาลงกรณ์มหาวิทยาลัย

ขั้นตอนการทดสอบอัตราขยายของสายอากาศมีดังนี้

- จัดวางสายอากาศรับและส่งให้นั่นด้านหน้าปากแตรเข้าหากัน มีระยะห่างน้อยที่สุดตามเกณฑ์ของสนามไกล ในระหว่างที่ระนาบของปากแตรตั้งจากกันแนวระดับ
 - ปรับเทียบสัญญาณด้วยการส่งผ่านสายส่ง โดยไม่ต่อ กับสายอากาศทั้งสองตัว
 - ต่อสายส่ง กับสายอากาศส่ง และวัดกำลังที่ออกจากสายอากาศรับ บันทึกค่า $\frac{P_r}{P_t}$
 - คำนวณอัตราการขยายตามสมการ (๔.๑)

โดยที่ ระยะห่างตามเกณฑ์สนามไก่ (R) คำนวณจากสมการดังต่อไปนี้

$$R \geq \frac{2D^2}{\lambda} \quad \dots \dots \dots \quad (1.2)$$

สำหรับ D คือระยะห่างสุดของสายอากาศซึ่งในที่นี้มีค่าเท่ากับ a,

ภาคผนวก ค

โปรแกรมต่างๆ ที่ใช้ในวิทยานิพนธ์

1. โปรแกรมคำนวณเครื่องวิเคราะห์ร้ายแรงเพื่อกำกับข้อมูลของเครื่องคอมพิวเตอร์ (keep.bas)

```
1 CLEAR , 58900!      'IBM BASICA Declarations; =BYTES FREE -size(bib.m)
2 IBINIT1 = 58900!    'a smaller than calculated # is OK in lines 1 & 2
3 IBINIT2 = IBINIT1 + 3 'Lines 1 thru 6 MUST be included in your program
4 BLOAD "bib.m", IBINIT1
5 CALL IBINIT1(IBFIND, IBTRG, IBCLR, IBPCT, IBSIC, IBLOC, IBPPC, IBBNA, IBONL,
IBRSC, IBSRE, IBRSV, IBPAD, IBSAD, IBIST, IBDMA, IBEOS, IBTMO, IBEOT, IBRDF,
IBWRTF, IBTRAP)
6 CALL IBINIT2(IBGTS, IBCAC, IBWAIT, IBPOKE, IBWRT, IBWRTA, IBCMD, IBCMDA,
IBRD, IBRDA, IBSTOP, IBRPP, IBRSP, IBDIAG, IBXTRC, IBRDI, IBWRTI, IBRDIA,
IBWRTIA, IBSTA%, IBERR%, IBCNT%)
14 UNL% = &H3F      ' GPIB unlisten command
15 UNT% = &H5F      ' GPIB untalk command
16 GTL% = &H1        ' GPIB go to local
17 SDC% = &H4        ' GPIB selected device clear
18 PPC% = &H5        ' GPIB parallel poll configure
19 BGET% = &H8        ' GPIB group execute trigger
20 TCT% = &H9        ' GPIB take control
21 LLO% = &H11       ' GPIB local lock out
22 DCL% = &H14       ' GPIB device clear
23 PPU% = &H15       ' GPIB ppoll unconfigure
24 SPE% = &H18       ' GPIB serial poll enable
25 SPD% = &H19       ' GPIB serial poll disable
26 PPE% = &H60       ' GPIB parallel poll enable
```

```
27 PPD% = &H70    ' GPIB parallel poll disable
28 REM
29 REM GPIB status bit vector
30 REM global variable IBSTA% and wait mask
31 BERR% = &H8000 ' Error detected
32 TIMO% = &H4000 ' Timeout
33 BEND% = &H2000 ' EOI or EOS detected
34 SRQI% = &H1000 ' SRQ detected by CIC
35 RQS% = &H800   ' Device needs service
36 CMPL% = &H100  ' I/O completed
37 LOK% = &H80    ' Local lockout state
38 REM% = &H40    ' Remote state
39 CIC% = &H20    ' Controller-In-Charge
40 BATN% = &H10   ' Attention asserted
41 TACS% = &H8    ' Talker active
42 LACS% = &H4    ' Listener active
43 DTAS% = &H2    ' Device trigger state
44 DCAS% = &H1    ' Device clear state
45 REM
46 REM Error messages returned in global variable IBERR%
47 EDVR% = 0     ' DOS error
48 ECIC% = 1     ' Function requires GPIB-PC to be CIC
49 ENOL% = 2     ' Write function detected no Listeners
50 EADR% = 3     ' Interface board not addressed correctly
51 EARG% = 4     ' Invalid argument to function call
52 ESAC% = 5     ' Function requires GPIB-PC to be SAC
53 EABO% = 6     ' I/O operation aborted
54 ENEB% = 7     ' Non-existent interface board
55 EOIP% = 10    ' I/O operation started before previous operation completed
```

```

56 ECAP% = 11   ' No capability for operation
57 EFSO% = 12   ' File system operation error
58 EBUS% = 14   ' Command error during device call
59 ESTB% = 15   ' Serial poll status byte lost
60 ESRQ% = 16   ' SRQ remains asserted
61 REM
62 REM EOS mode bits
63 BIN% = &H1000 ' Eight bit compare
64 XEOS% = &H800 ' Send EOI with EOS byte
65 REOS% = &H400 ' Terminate read on EOS
66 REM
67 REM Timeout values and meanings
68 TNONE% = 0    ' Infinite timeout (disabled)
69 T10US% = 1    ' Timeout of 10 us (ideal)
70 T30US% = 2    ' Timeout of 30 us (ideal)
71 T100US% = 3   ' Timeout of 100 us (ideal)
72 T300US% = 4   ' Timeout of 300 us (ideal)
73 T1MS% = 5    ' Timeout of 1 ms (ideal)
74 T3MS% = 6    ' Timeout of 3 ms (ideal)
75 T10MS% = 7   ' Timeout of 10 ms (ideal)
76 T30MS% = 8   ' Timeout of 30 ms (ideal)
77 T100MS% = 9  ' Timeout of 100 ms (ideal)
78 T300MS% = 10 ' Timeout of 300 ms (ideal)
79 T1S% = 11    ' Timeout of 1 s (ideal)
80 T3S% = 12    ' Timeout of 3 s (ideal)
81 T10S% = 13   ' Timeout of 10 s (ideal)
82 T30S% = 14   ' Timeout of 30 s (ideal)
83 T100S% = 15  ' Timeout of 100 s (ideal)
84 T300S% = 16  ' Timeout of 300 s (ideal)

```

```
85 T1000S% = 17    ' Timeout of 1000 s (maximum)
86 REM
87 REM Miscellaneous
88 S% = &H8      ' Parallel Poll sense bit
89 LF% = &HA      ' Line feed character
90 REM
91 REM Application program variables passed to
92 REM GPIB functions
93 REM
94 CMD$ = SPACE$(10)      ' command buffer
95 RD$ = SPACE$(255)      ' read data buffer
96 WRT$ = SPACE$(255)     ' write data buffer
97 BNAME$ = SPACE$(7)      ' board name buffer
98 BDNAME$ = SPACE$(7)     ' board or device name buffer
99 FLNAME$ = SPACE$(50)    ' file name buffer
999 REM
1000 REM Information part
1010 CLS
1020 PRINT "Input name of data file.": PRINT
1110 INPUT "Name of data file : ", DFN$
1120 OPEN DFN$ FOR OUTPUT AS #1:TOS=2
1500 S=1
1600 REM ****
2010 CLS
2020 BDNAME$ = "dev1"
2030 CALL IBFIND(BDNAME$, DEV1%)
2040 IF DEV1% < 0 GOTO 9000
2050 PRINT "alright"
2051 IF S = 2 THEN 2600
```

2060 WRT\$ = "pres"
2070 CALL IBWRT(DEV1%, WRT\$)
2071 IF TOS = 1 THEN 2100
2072 WRT\$ = "menusyst": CALL IBWRT(DEV1%, WRT\$)
2073 WRT\$ = "freqrang6ghz": CALL IBWRT(DEV1%, WRT\$)
2100 WRT\$ = "dispdata": CALL IBWRT(DEV1%, WRT\$)
2160 CHN\$ = "chan1": GOTO 2180
2180 WRT\$ = CHN\$
2190 CALL IBWRT(DEV1%, WRT\$)
2240 SIG=2
2282 SIG\$ = "s21"
2290 WRT\$ = SIG\$
2295 CALL IBWRT(DEV1%, WRT\$)
2360 FMT=1
2381 FMT\$ = "logm": GOTO 2390
2390 WRT\$ = FMT\$
2395 CALL IBWRT(DEV1%, WRT\$)
2420 PWR=20
2440 WRT\$ = "powe" + STR\$(PWR)
2450 CALL IBWRT(DEV1%, WRT\$)
2520 IBW=300 :REM BANDWIDTH
2540 WRT\$ = "ifbw" + STR\$(IBW)
2550 CALL IBWRT(DEV1%, WRT\$)
2640 DMN=1
2662 STT=3300
2663 STP=4200
2664 TEP=10
2672 WRT\$ = "star" + STR\$(STT) + "MHz" + "stop" + STR\$(STP) + "MHz"
2673 CALL IBWRT(DEV1%, WRT\$)

2674 GOSUB 5000

2675 GOTO 3100

3000 rem *****

3100 CLS:NMB% = INT(((STP - STT) / TEP) + 1): DIM DTA1\$(NMB%): DIM
DTA2\$(NMB%)

3101 cls

3103 WRT\$ = "dati": CALL IBWRT(DEV1%, WRT\$): Z = 1

3104 IF Z = 2 THEN 3107

3105 WRT\$ = "dispmemo": CALL IBWRT(DEV1%, WRT\$)

3106 WRT\$ = "logm": CALL IBWRT(DEV1%, WRT\$): GOTO 3110

3107 WRT\$ = "phas": CALL IBWRT(DEV1%, WRT\$)

3110 N = 0

3120 FOR FRQ = STT TO STP STEP TEP

3130 N = N + 1

3140 WRT\$ = "mark1" + STR\$(FRQ) + "MHz" + "outpmark"

3150 CALL IBWRT(DEV1%, WRT\$)

3160 RD\$ = SPACE\$(14)

3170 CALL IBRD(DEV1%, RD\$)

3171 IF Z = 1 THEN DTA1\$(N) = RD\$ ELSE DTA2\$(N) = RD\$

3200 NEXT FRQ

3201 IF Z = 2 THEN 3203

3202 Z = 2: GOTO 3104

3203 N = O

3204 FOR FRQ = STT TO STP STEP TEP

3205 N = N + 1

3206 PRINT N, FRQ, DTA1\$(N), DTA2\$(N)

3207 PRINT #1, N, FRQ, DTA1\$(N), DTA2\$(N)

3208 NEXT FRQ

3209 WRT\$ = "dispdata": CALL IBWRT(DEV1%, WRT\$)

```

3210 GOTO 6000

5000 REM subroutine calibration

5060 CAL=1

5080 IF CAL = 1 THEN 5100 ELSE 5300

5100 WRT$ = "caliresp"

5110 CALL IBWRT(DEV1%, WRT$): GOTO 5120

5120 RES=3

5210 IF RES = 3 THEN RES$ = "stanc"

5220 INPUT "Press 'enter' to start calibration.", ENT

5230 WRT$ = RES$

5240 CALL IBWRT(DEV1%, WRT$)

5250 INPUT "When calibration complete, press 'enter' again.", ENT

5260 WRT$ = "done ; opc?"

5270 CALL IBWRT(DEV1%, WRT$)

5275 INPUT "Press 'ENTER' to start measurement.", ENT

5280 RETURN

6000 REM subroutine again measurement

6010 CLS:close

6020 PRINT "Input name of data file.": PRINT

6030 INPUT "Name of data file : ", DFN$

6040 OPEN DFN$ FOR OUTPUT AS #1

6090 PRINT : INPUT "Please type 'ENTER' to start measurement.", ENT

6100 goto 3101

```

2. โปรแกรมแปลงฟrequency ผกผัน (ictft.m)

```

function[t,x]=ictft(f,X)
X=X(:);F=f(2)-f(1);NM=round(abs(f(1)/F));
NP=round(abs(f(length(f))/F))+1;

```

```

if NM>NP
    M=ceil(log(NM)/log(2));
else
    M=ceil(log(NP)/log(2));
end
N=2^M;f0=f(1)/F;n=[0:(N-1)]';t=n/(N*F);
x=N*F*ifft(X,N).*exp(i*2*pi*n*f0/N);
mid=ceil(N/2)+1;t(mid:N)=t(mid:N)-1/F;
t=fftshift(t);x=fftshift(x);

```

3. โปรแกรมสร้างทรงกลมป่วงกาเร (care.m)

```

function care
for i=0:pi/40:pi/2
n=i*40/pi+1;
    for j=-pi:pi/20:pi;
        m=j*20/pi+21;
        [x,y,z]=chanco(i,j);
        xx(n,m)=x;yy(n,m)=y;zz(n,m)=z;
    end
end
figure
for i=1:21
plot(yy(i,:),zz(i,:))
    if i==1
        hold
    end
end
for j=1:41

```

```
plot(yy(:,j),zz(:,j))
```

```
end
```

4. โปรแกรมคำนวณวงรีความเบղgetPathของกลุ่มห้อง (mesd.m)

```
function [maa,mbb,sd1aa,sd1bb,sd2aa,sd2bb]=mesd(x,y)
```

```
r=sqrt(x.^2+y.^2);the=atan(y./x);
```

```
n=size(x);n=n(1,2);
```

```
a=r;b=the;
```

```
suma=0;sda=0;sumb=0;sdb=0;
```

```
for i=1:n
```

```
    suma=suma+a(i);
```

```
    sumb=sumb+b(i);
```

```
end
```

```
ma=suma/n;mb=sumb/n;
```

```
for i=1:n
```

```
    sda=sda+(a(i)-ma).^2;
```

```
    sdb=sdb+(b(i)-mb).^2;
```

```
end
```

```
sda=sqrt(sda/n);sdb=sqrt(sdb/n);
```

```
maa=ma*cos(mb);mbb=ma*sin(mb);
```

```
xaa=sda;xbb=ma*tan(sdb);
```

```
theta=0:pi/20:2*pi;
```

```
sxaa=xaa*cos(theta);sxbb=xbb*sin(theta);
```

```
sd1aa=sxaa*cos(mb)-sxbb*sin(mb)+maa;
```

```
sd1bb=sxaa*sin(mb)+sxbb*cos(mb)+mbb;
```

```
x2aa=2*sda;x2bb=ma*tan(2*sdb);
```

```
theta=0:pi/20:2*pi;
```

```
sx2aa=x2aa*cos(theta);
```

```
sx2bb=x2bb*sin(theta);
```

```

sd2aa=sx2aa*cos(mb)-sx2bb*sin(mb)+maa;
sd2bb=sx2aa*sin(mb)+sx2bb*cos(mb)+mbb;

```

5. โปรแกรมเปลี่ยนพิกัดหมุน E และ T ไปพิกัดจาก x y และ z บนทรงก柱มปวงกาชาด (chanco.m)

```

function [xxx,yyy,zzz]=chanco(y,s)
e=(asin(sin(2*y)*sin(s)))/2;
if y>pi/4
    t=(atan(tan(2*y)*cos(s)))/2+pi/2;
else
    t=(atan(tan(2*y)*cos(s)))/2;
end
xxx=cos(2*e)*(cos(2*t));
yyy=cos(2*e)*sin(2*t);
zzz=sin(2*e);

```

สถาบันวิทยบริการ
จุฬาลงกรณ์มหาวิทยาลัย

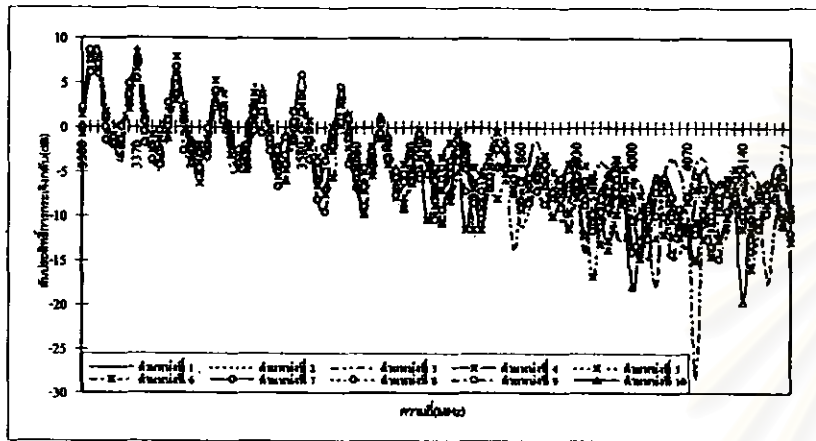
ภาคผนวก ง

สัมประสิทธิ์การกระเจิงกลับ และเมทวิรช์การกระเจิงของพืชไร่ทั้ง 7 ชนิด

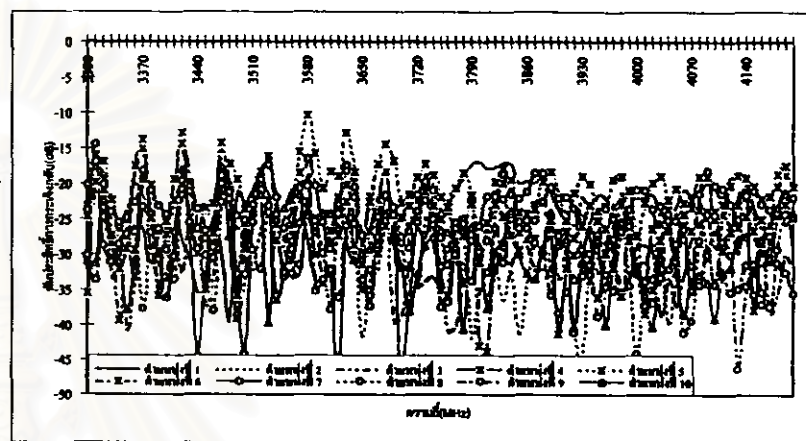
ค่าจากาวัดที่ได้คือค่าสัมประสิทธิ์การกระเจิงกลับ ซึ่งมีทั้งขนาดและมุมเพลส นำมาหาสมบูติการกระเจิงของพืชไร่ด้วยสมการที่ (4.4ก) ถึง (4.4จ) ค่าที่ได้สามารถนำมาใช้เปรียบความแตกต่างของชนิดพืชไร่ได้ชัดเจนที่จะแสดงในภาคผนวก ง นี้คือ ขนาดของสัมประสิทธิ์การกระเจิงกลับ มุมเพลส และขนาดของเมทวิรช์ การกระเจิง ทั้งสี่กรณี HH HV VH และ VV จากพืชไร่ทั้ง 7 ชนิด อันได้แก่ ข้าวโพด ข้าวฟ่าง ถั่วเหลือง ถั่วเขียว ฯ ฯ งานตะวัน และฝ้าย โดยที่ในแต่ละรูปจะแสดงข้อมูลของทั้ง 10 ตำแหน่ง

ข้อมูลจะแบ่งออกเป็น 3 ชุดคือ รูป ง.1 ถึง ง.7 จะเป็นขนาดของสัมประสิทธิ์การกระเจิง รูป ง.8 ถึง ง.14 เป็นมุมเพลสของคลื่นกระเจิง และ รูป ง.15 ถึง ง.21 คือขนาดของศีรษะกอยทั้งสี่ของเมทวิรช์การกระเจิง

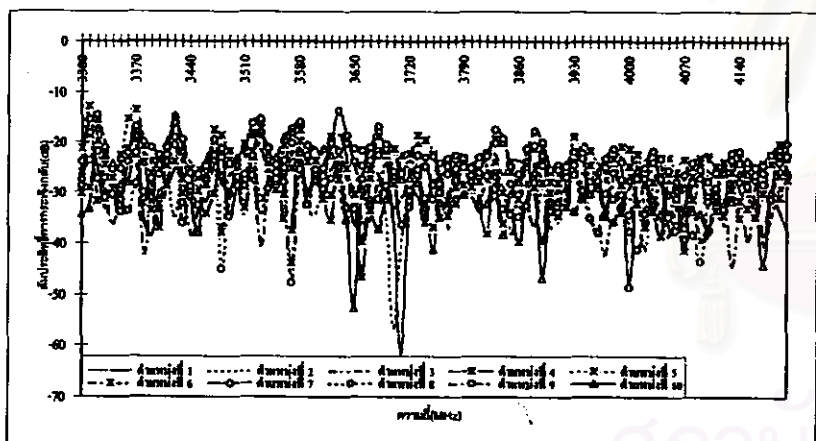
สถาบันวิทยบริการ
จุฬาลงกรณ์มหาวิทยาลัย



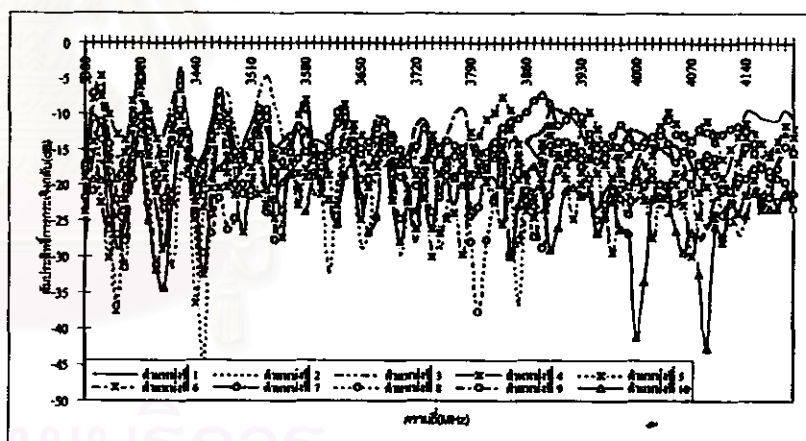
(ก) กรณี HH



(ก) กรณี VH

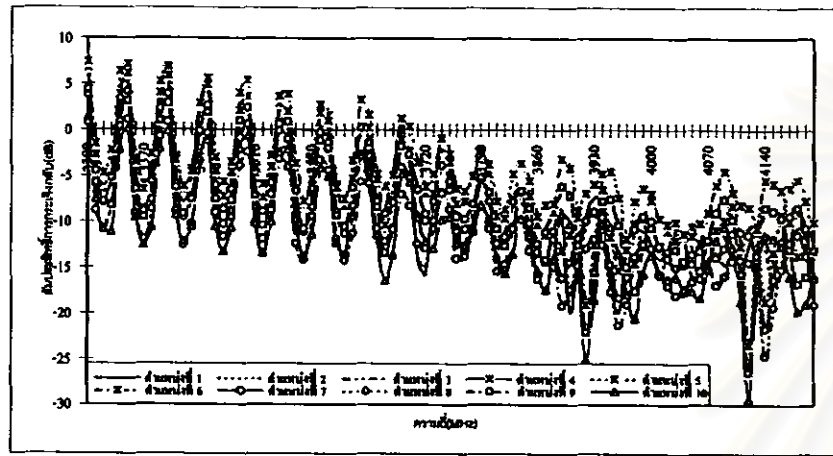


(ก) กรณี HV

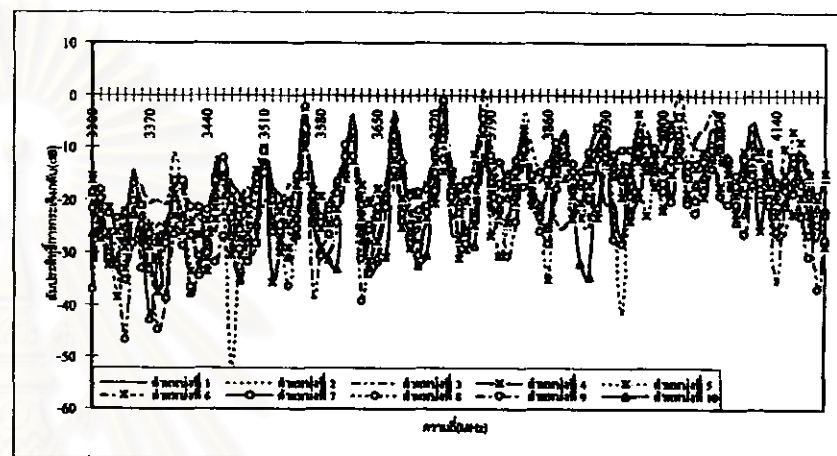


(ก) กรณี W

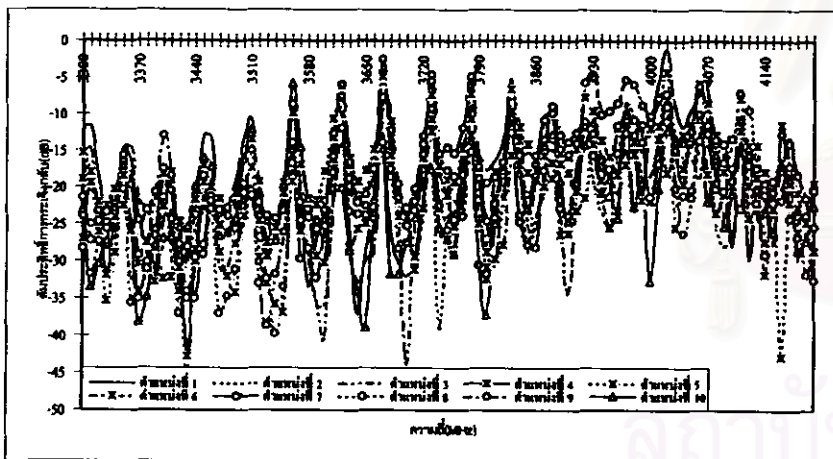
รูป ๔.๑ ความสัมพันธ์ระหว่างต้นแบบสิทธิ์การกระจายกลับจากข้าวโพดและความตื้น



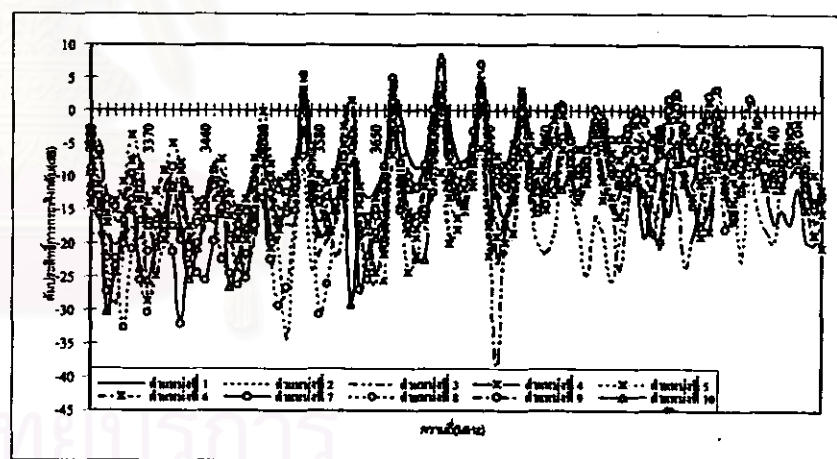
(ก) กราฟ HH



(ก) กราฟ VH

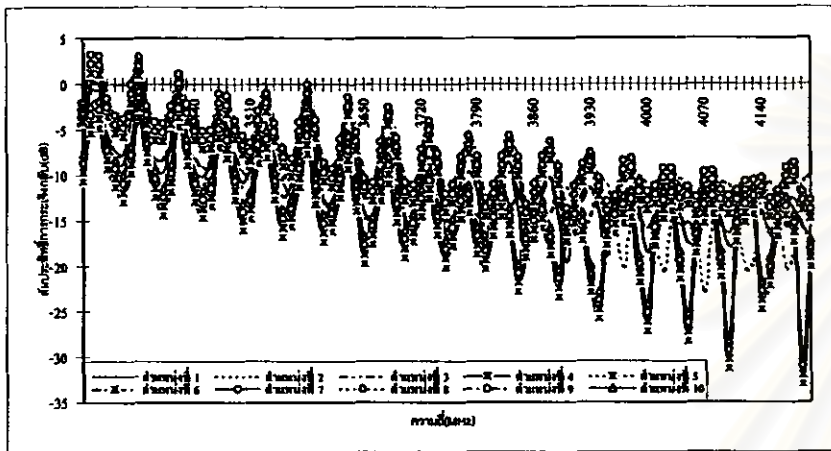


(ข) กราฟ HV

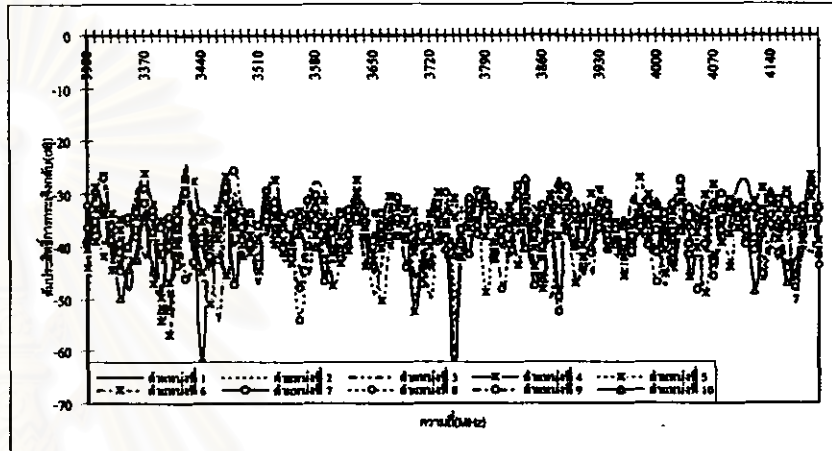


(ข) กราฟ VV

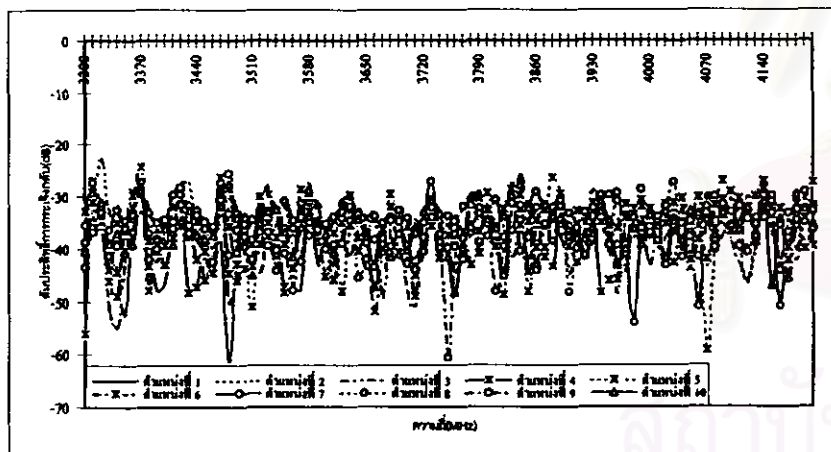
รูป ง.2 ความสัมพันธ์ระหว่างสัมประสิทธิ์การกระเจิงกลับจากข้างฟ้างและความถี่



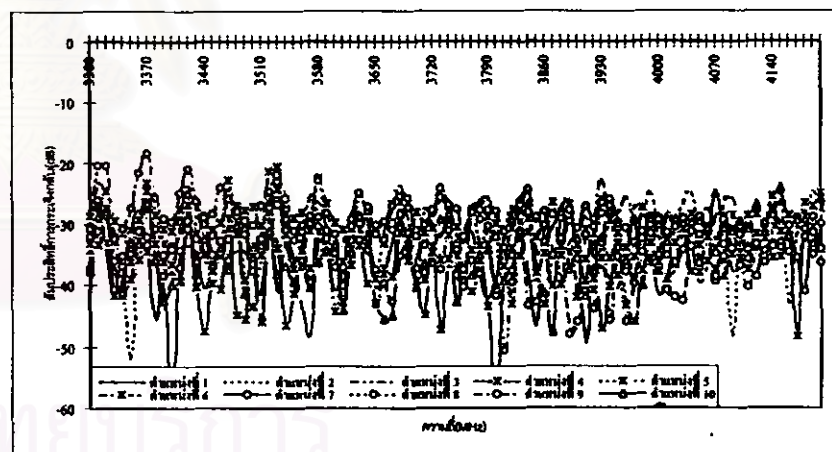
(ก) กราฟ HH



(ก) กราฟ VH

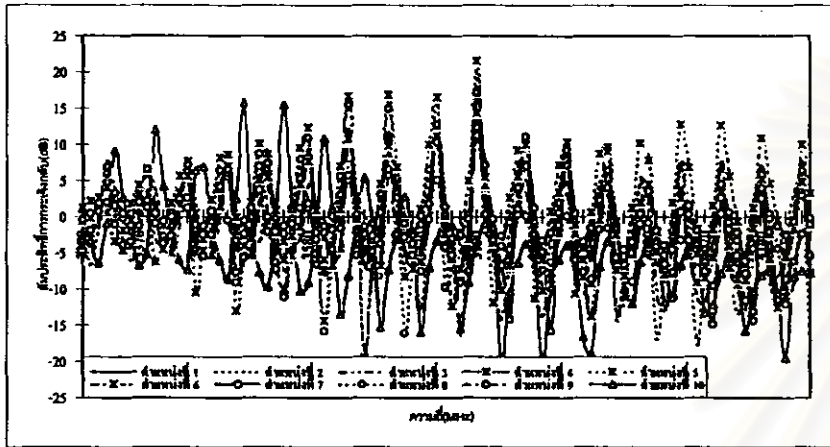


(ก) กราฟ HV

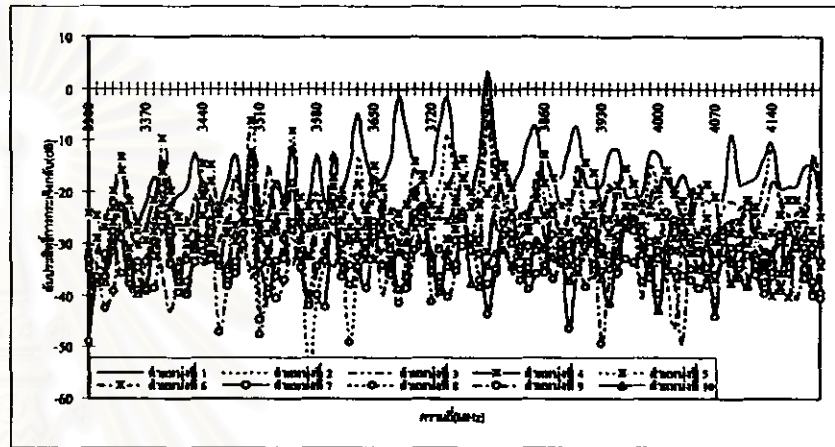


(ก) กราฟ WV

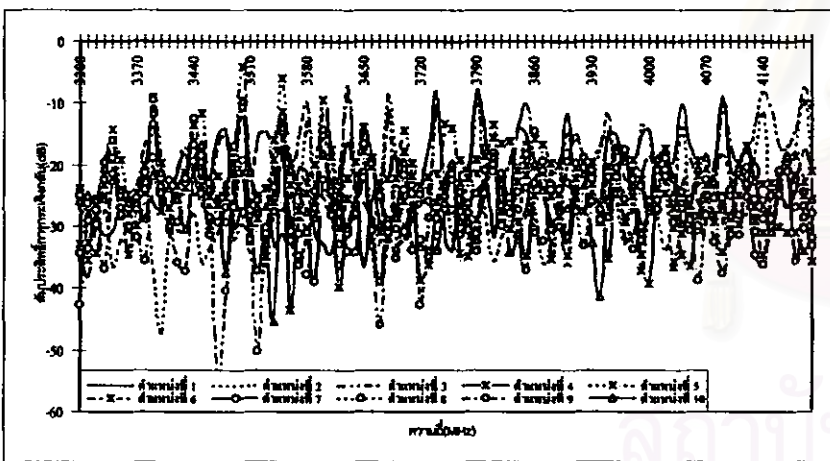
รูป 4.3 ความสมพันธ์ระหว่างสัมประสิทธิ์การกระจายกับเวลาและความถี่



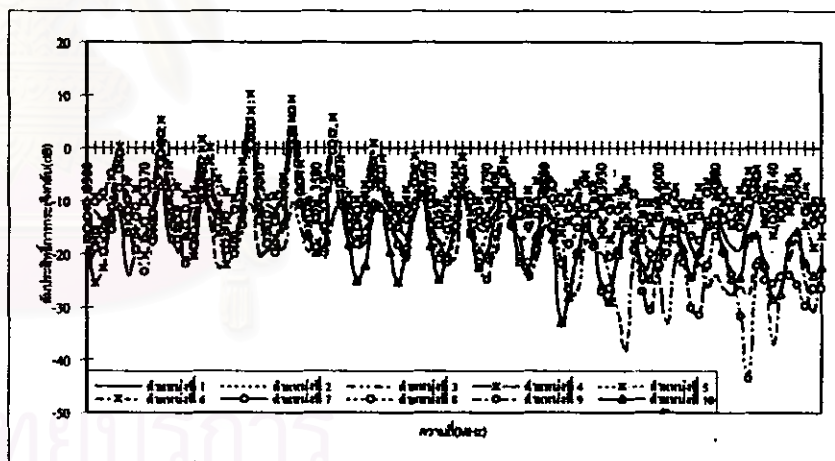
(ก) กราฟนี้ HH



(ก) กราฟนี้ VH

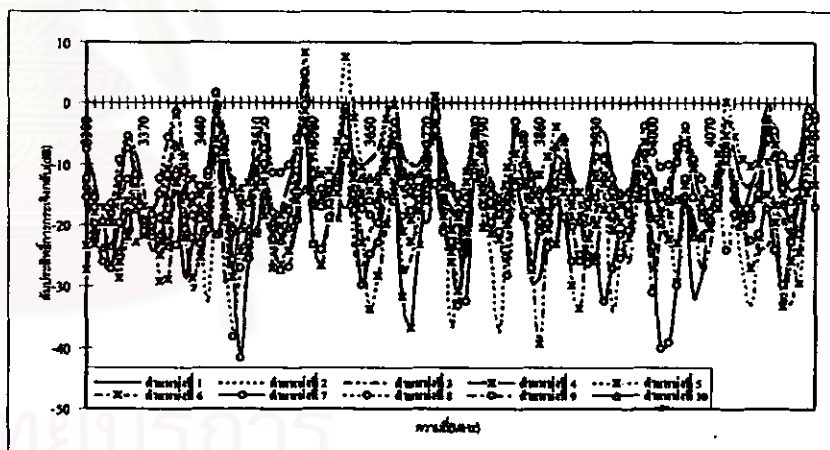
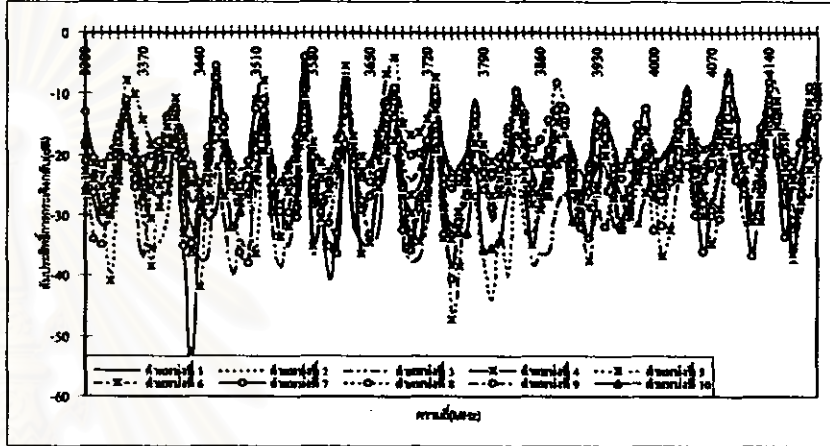
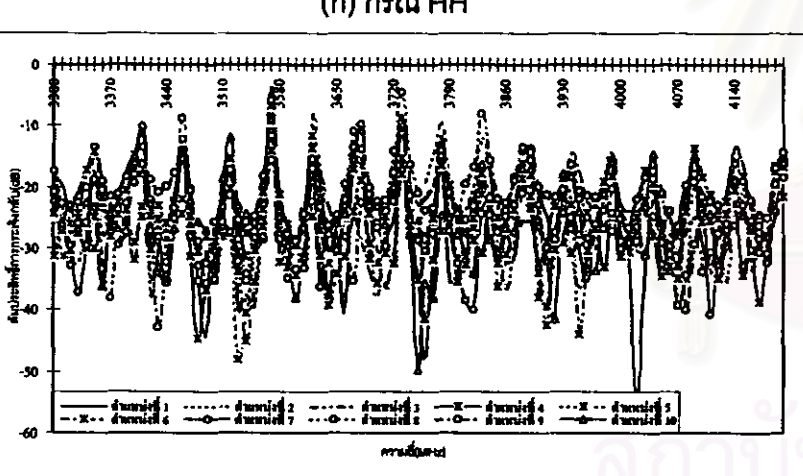
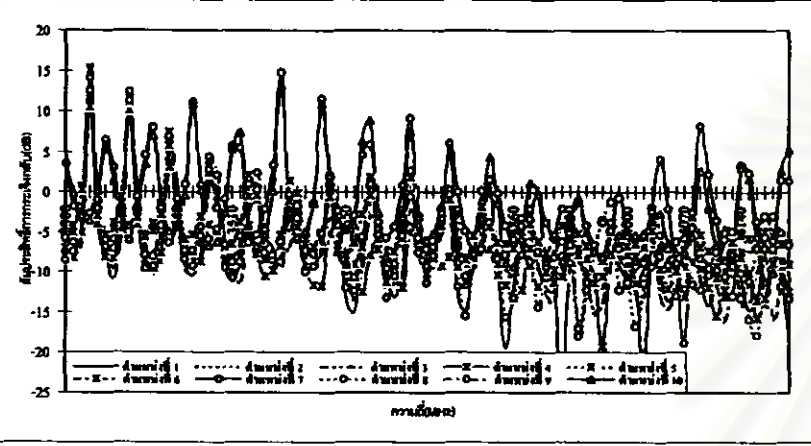


(ก) กราฟนี้ HV

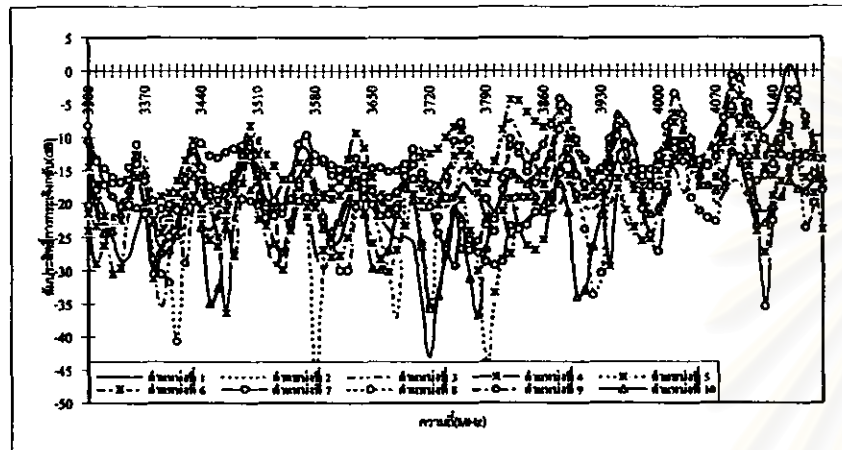


(ก) กราฟนี้ WW

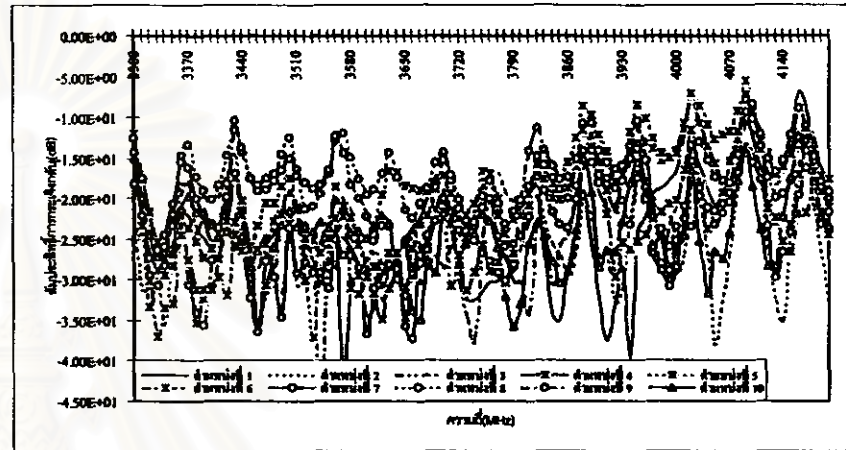
รูป ๔.๔ ความสมพันธ์ระหว่างสัมประสิทธิ์การกระจายเจิงกลับจากถัวเฉี่ยวและความถี่



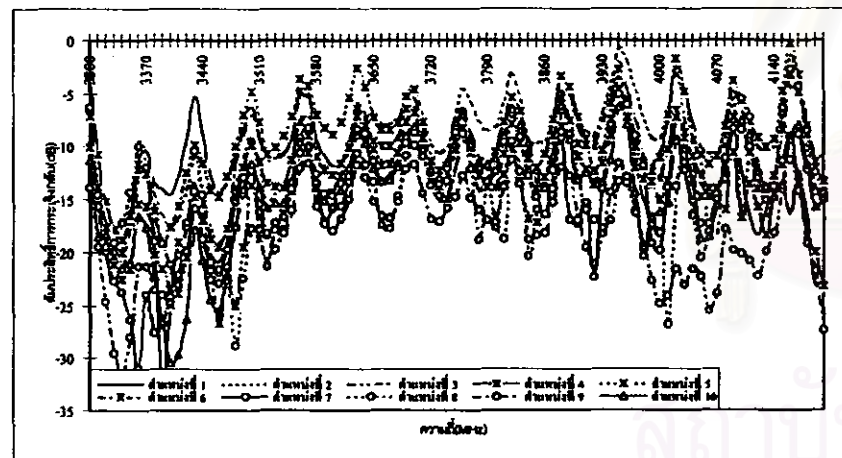
รูป ๔.๕ ความสัมพันธ์ระหว่างสัมประสิทธิ์การกระจายกลับจากน้ำและความถี่



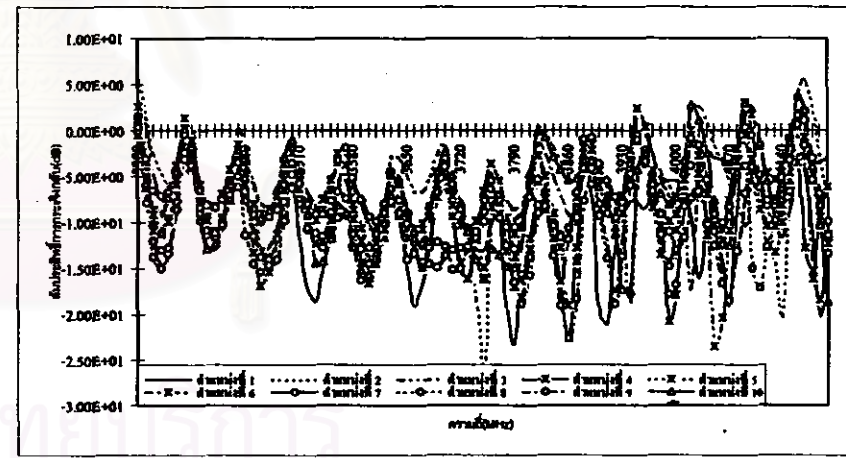
(ก) กราฟ HH



(ก) กราฟ VH

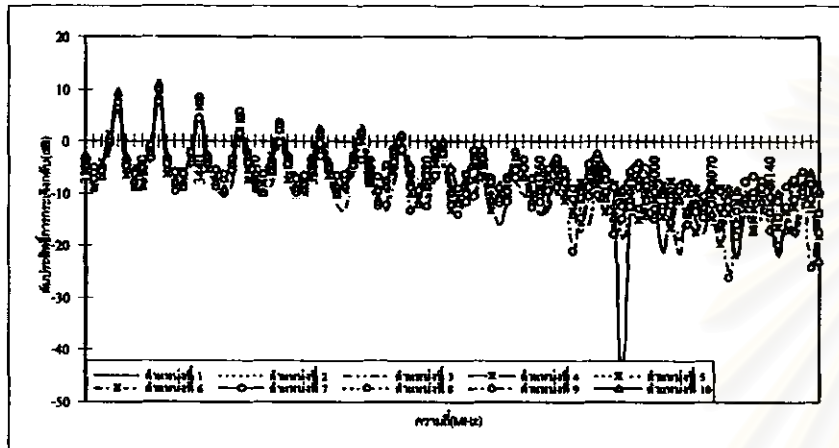


(ก) กราฟ HV

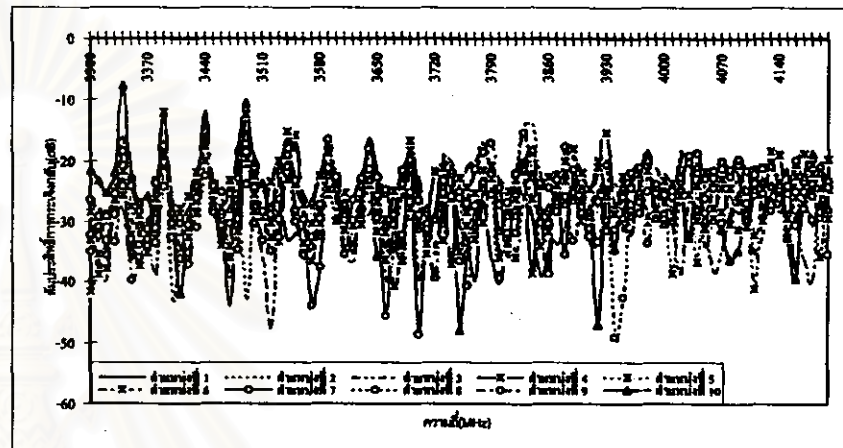


(ก) กราฟ VV

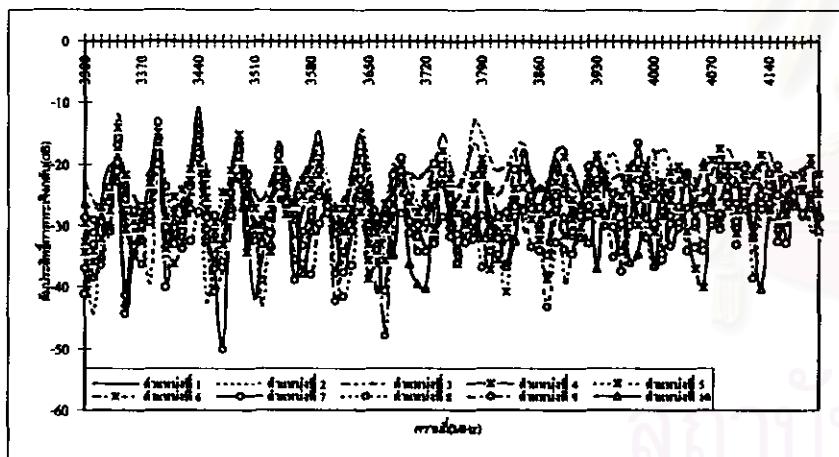
รูป ง.6 ความสมพันธ์ระหว่างสัมประสิทธิ์การกระเจิงกลับจากงานตัววันและความถี่



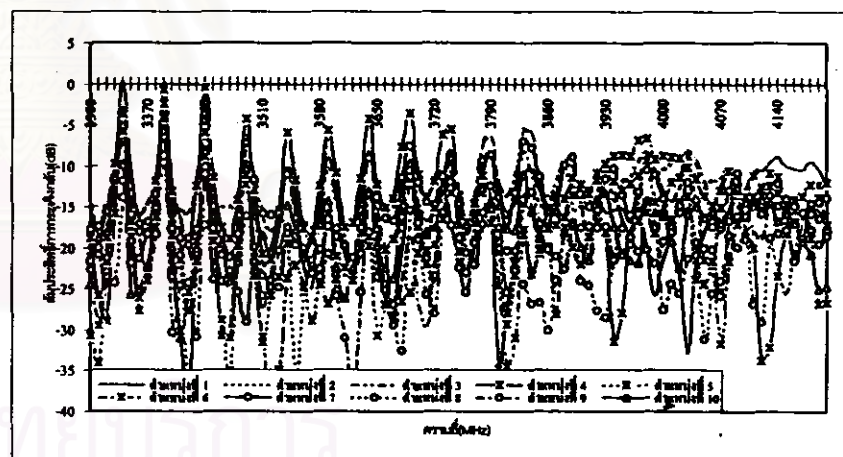
(ก) กราฟ HH



(ก) กราฟ VH

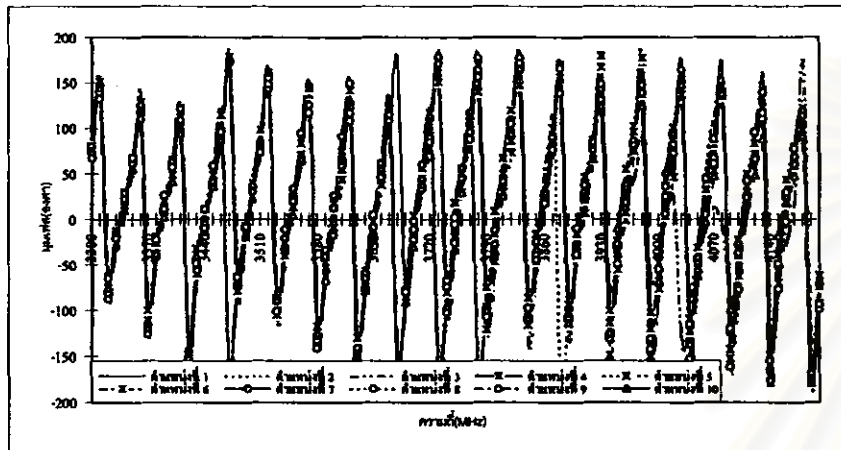


(ก) กราฟ HV

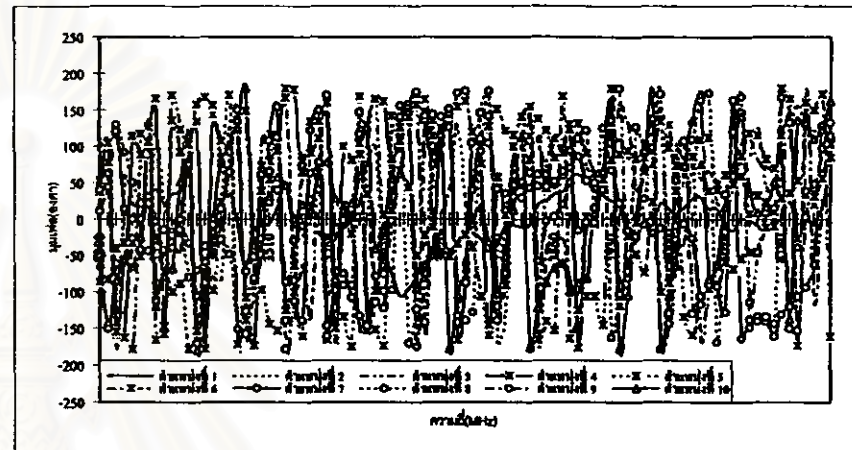


(ก) กราฟ VW

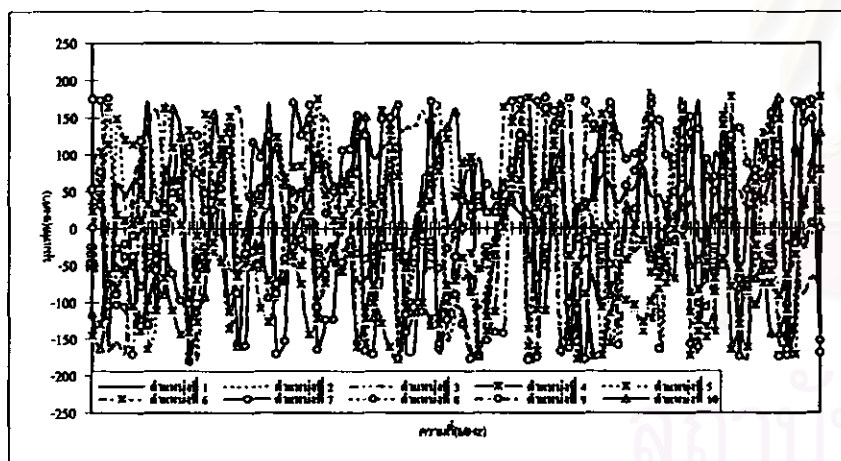
รูป ๕.๗ ความสัมพันธ์ระหว่างสัมประสิทธิ์การกระจายกลับจากฝ่ายและความถี่



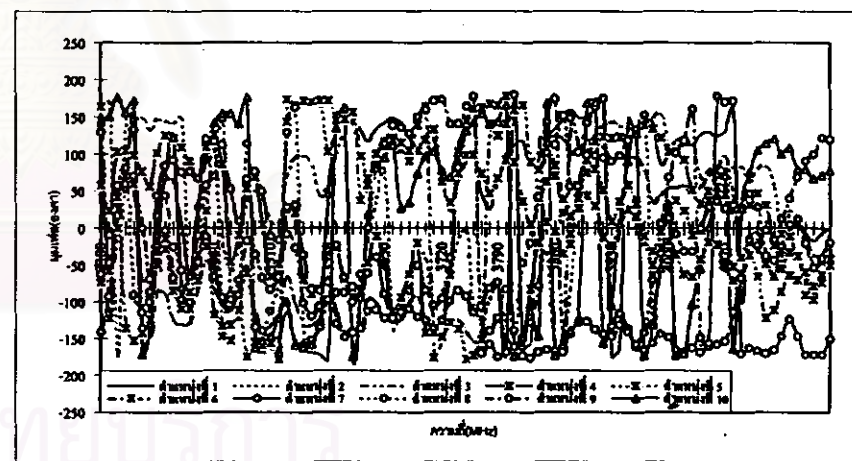
(ก) กราฟ HH



(ก) กราฟ VH

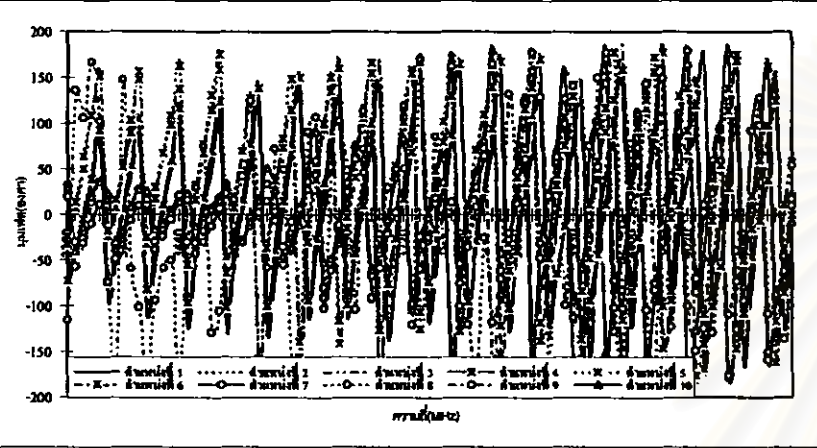


(ก) กราฟ HV

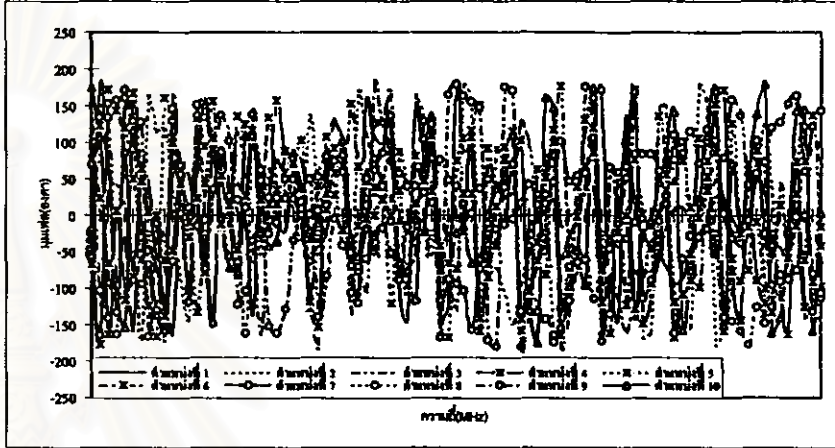


(ก) กราฟ VV

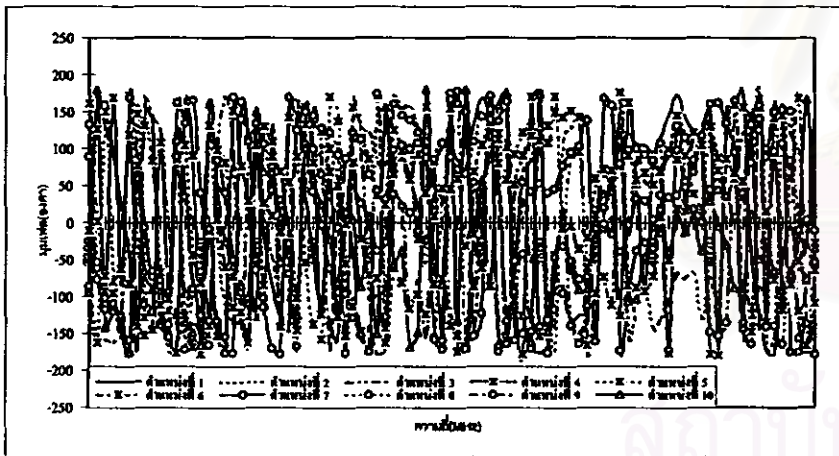
รูป ง.8 ความสัมพันธ์ระหว่างมุมไฟฟ้าของคลื่นกระแสเจิงกลับจากข้าวโพดและความถี่



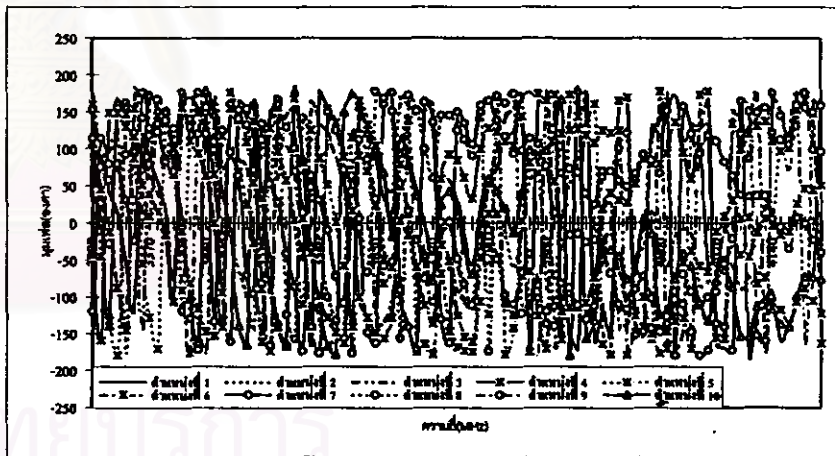
(n) กราฟ HH



(o) กราฟ VH

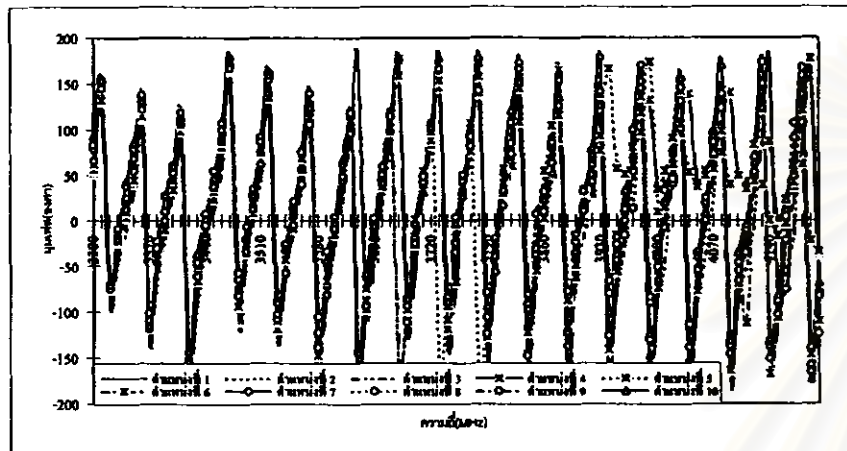


(x) กราฟ HV

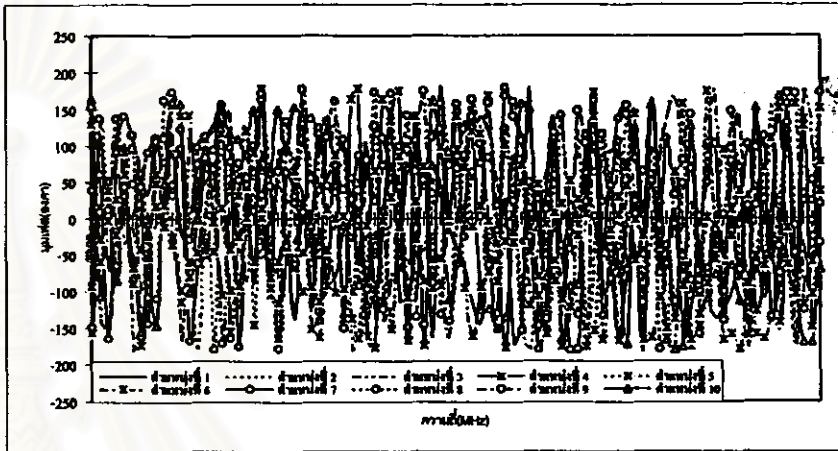


(y) กราฟ WW

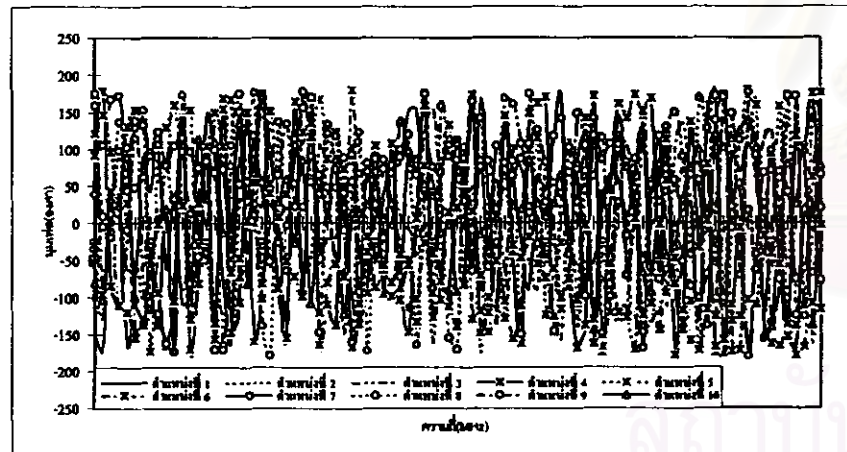
รูป ง.9 ความสัมพันธ์ระหว่างมุมเพลิงของคลื่นกระเจิงกับลับจากข้างฟ้างและความถี่



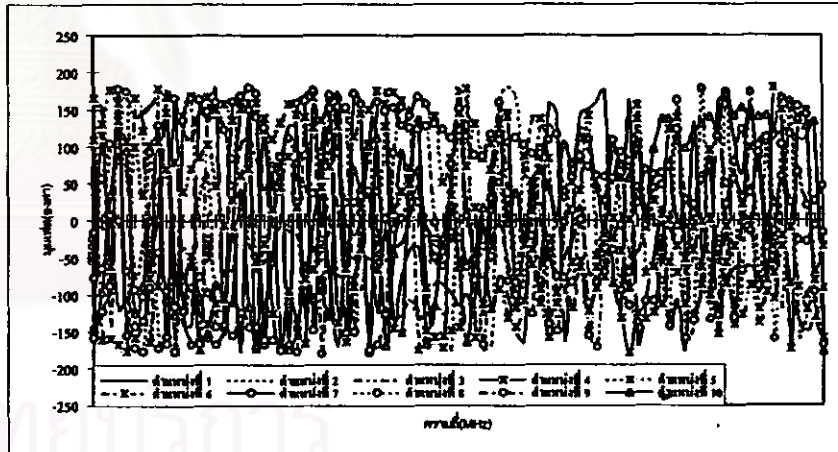
(ก) กราฟ HH



(ก) กราฟ VH

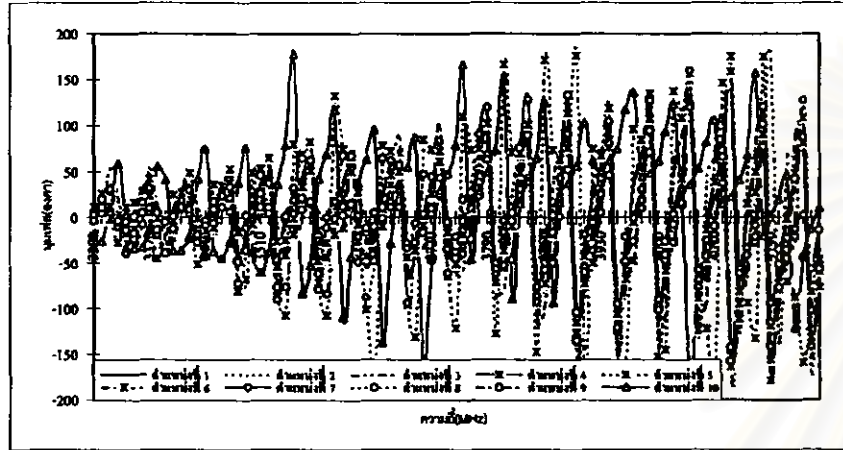


(ก) กราฟ HV

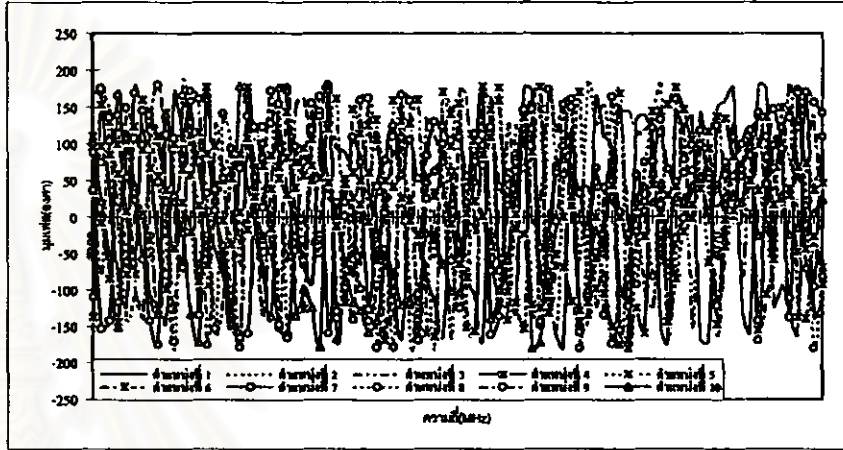


(ก) กราฟ WV

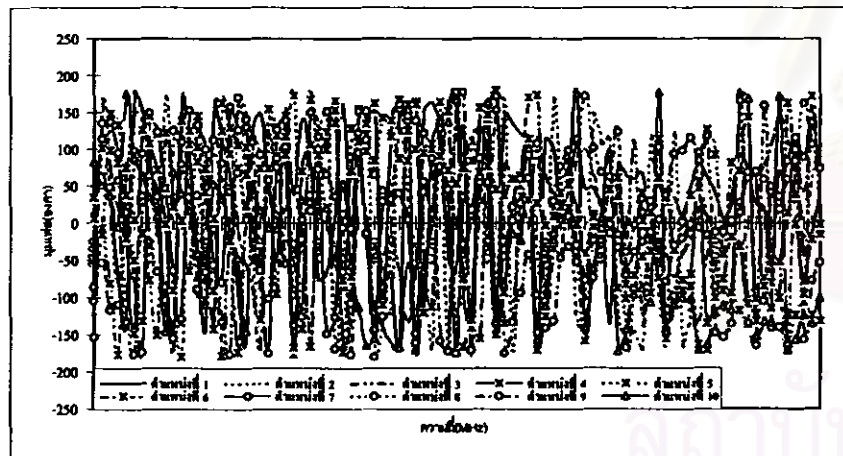
รูป 1.10 ความสัมพันธ์ระหว่างมุมเพลิงของคลื่นกระแสไฟฟ้ากับการเจิงกลับจากด้านหลังและความดี



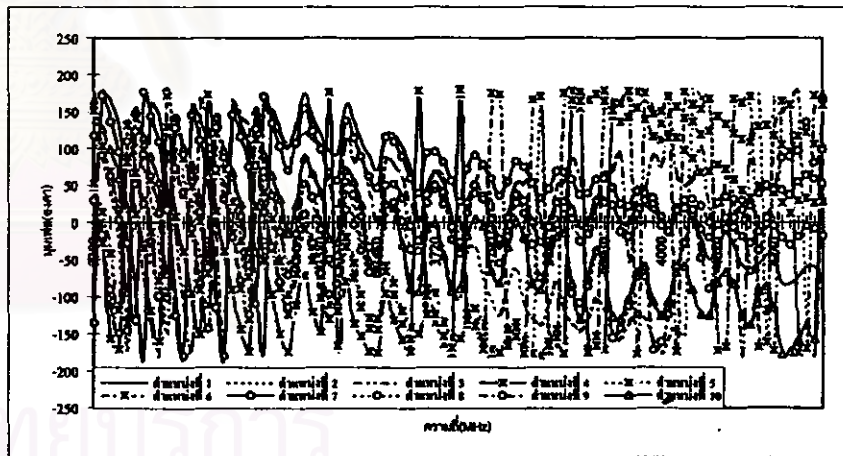
(ก) กราฟ HH



(ก) กราฟ VH

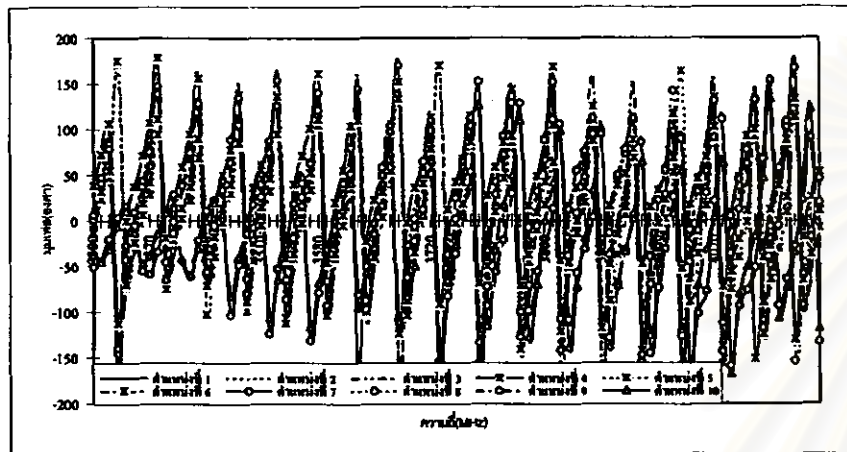


(ก) กราฟ HV

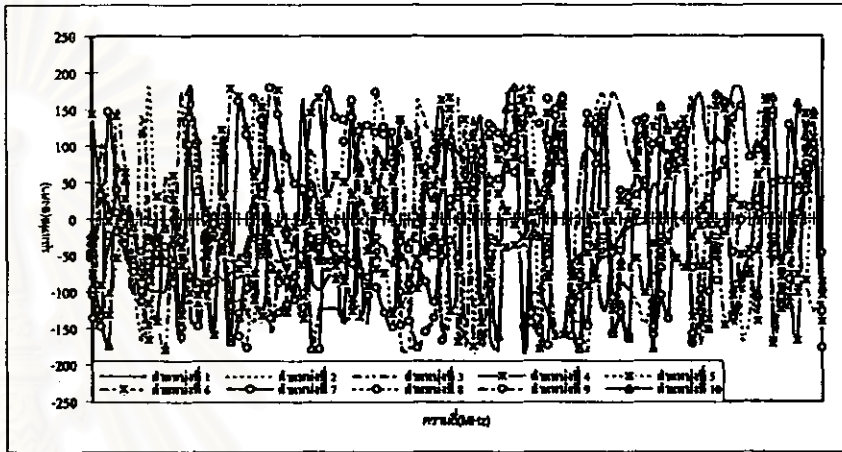


(ก) กราฟ VV

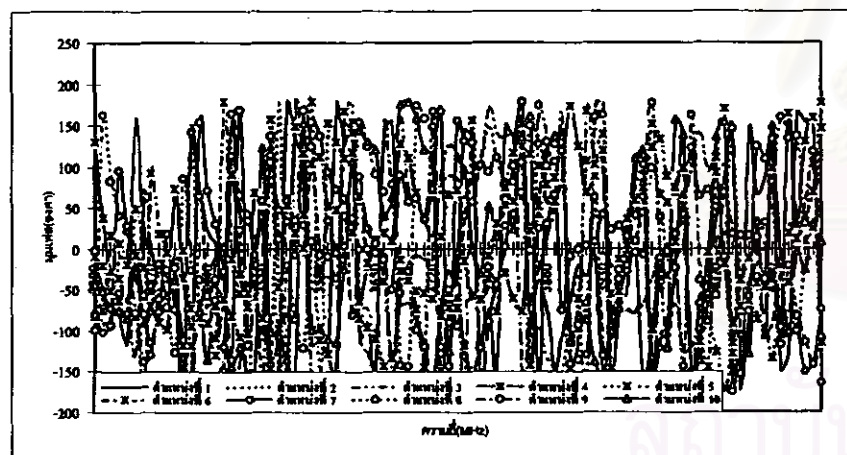
รูป ง.11 ความสมพันธ์ระหว่างมุมเพลสของคลื่นกระแสไฟฟ้ากับจำนวนตัวเรียวและความถี่



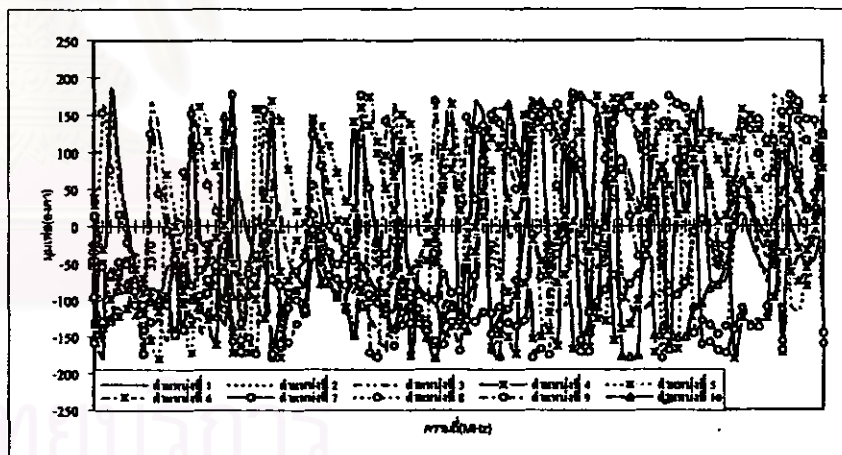
(g) กราฟ HH



(k) กราฟ VH

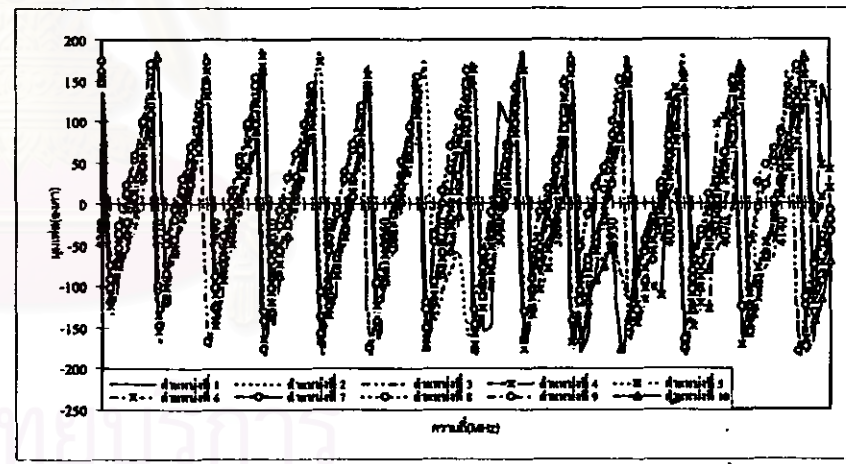
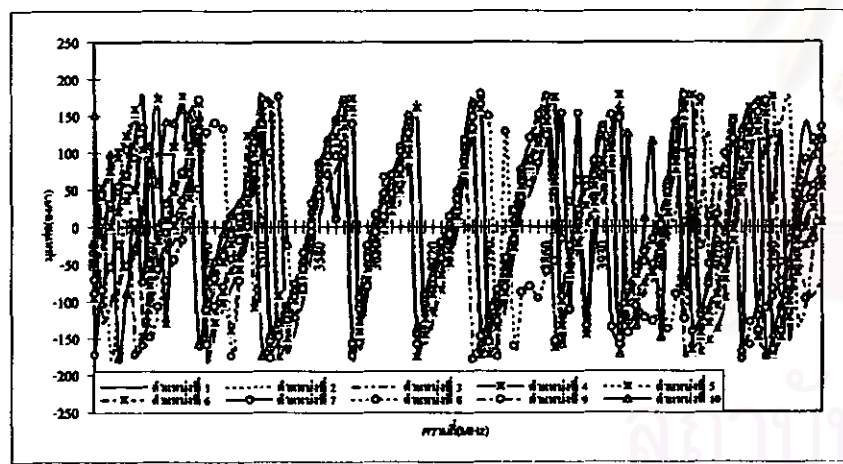
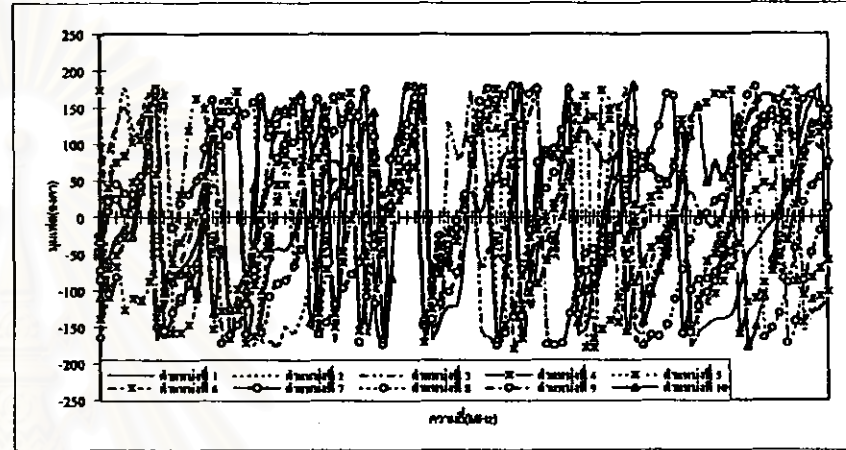
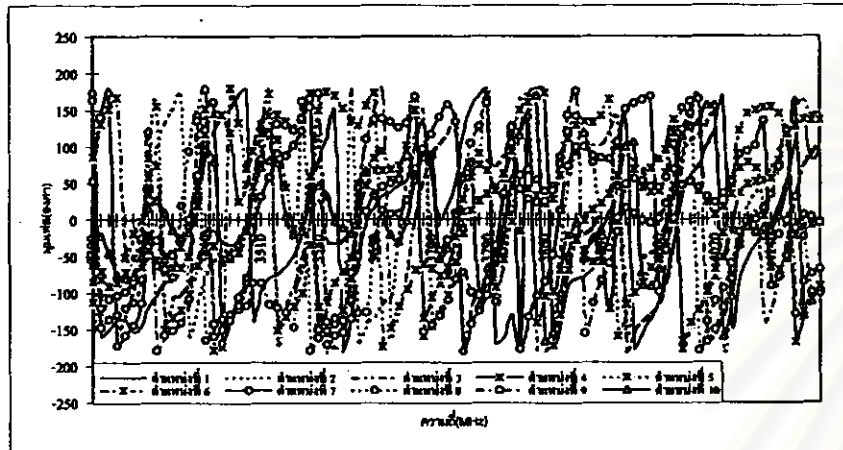


(m) กราฟ HV

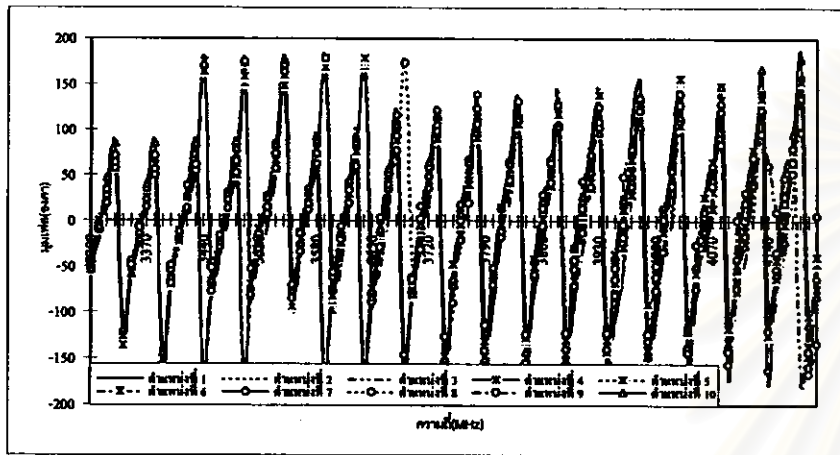


(n) กราฟ WV

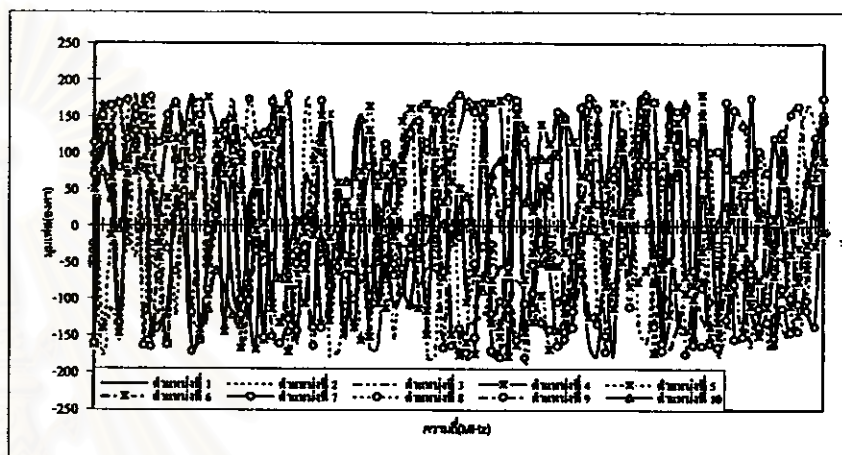
รูป ฯ.12 ความสัมพันธ์ระหว่างมุนเพสของคลื่นกระเจิงกลับจากงานและความดี



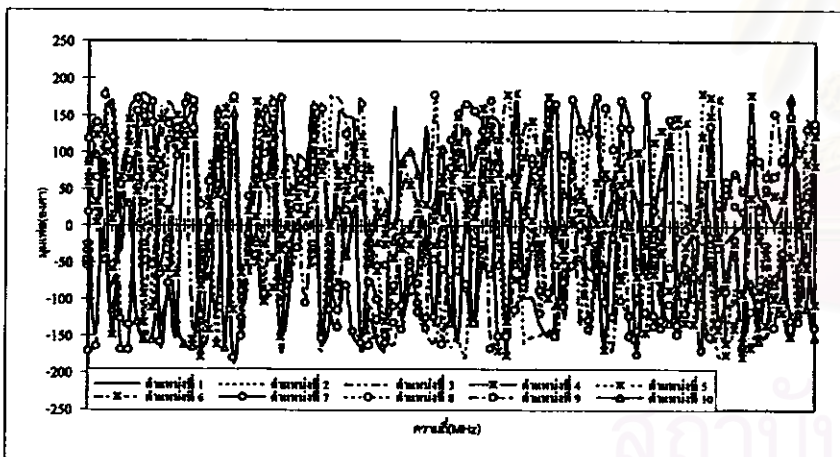
รูป ว.13 ความสัมพันธ์ระหว่างมุมเฟสของคลื่นกระแสไฟฟ้าจากหัวใจและความถี่



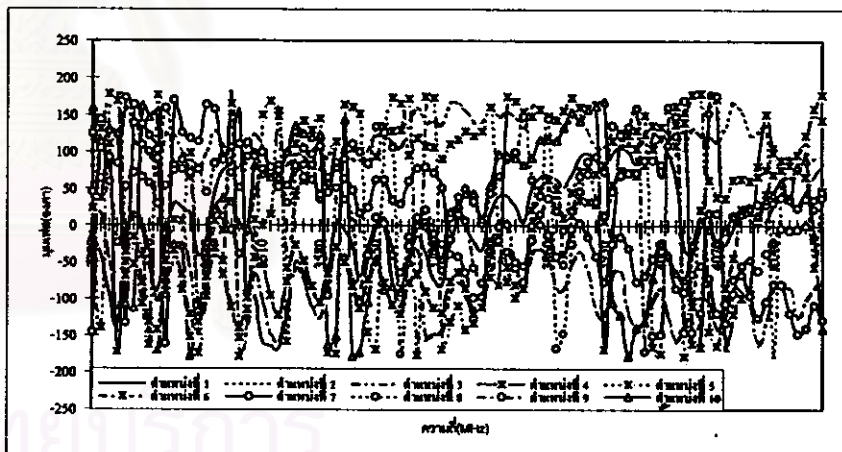
(a) กราฟ HH



(b) กราฟ VH

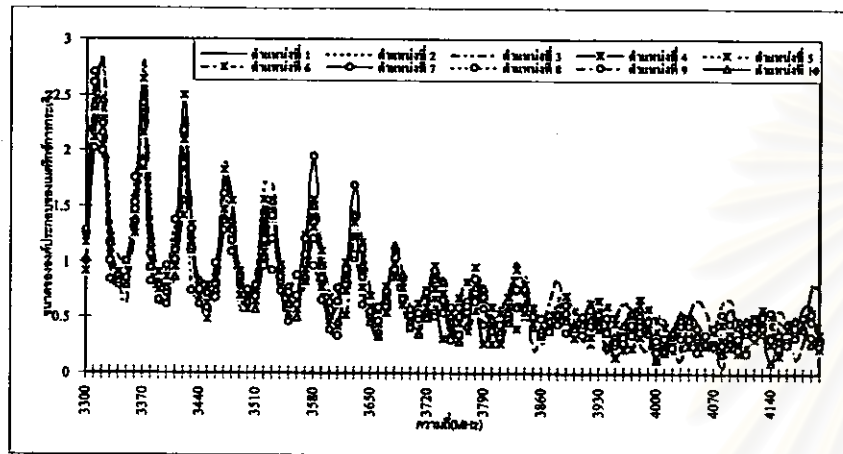


(c) กราฟ HV

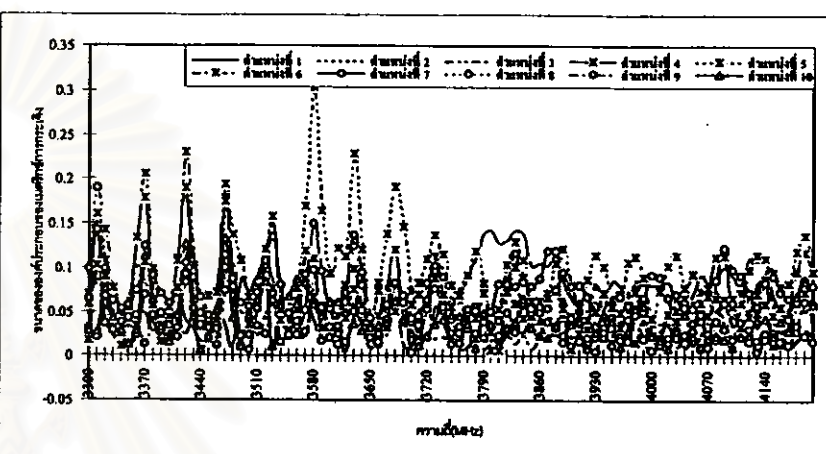


(d) กราฟ VV

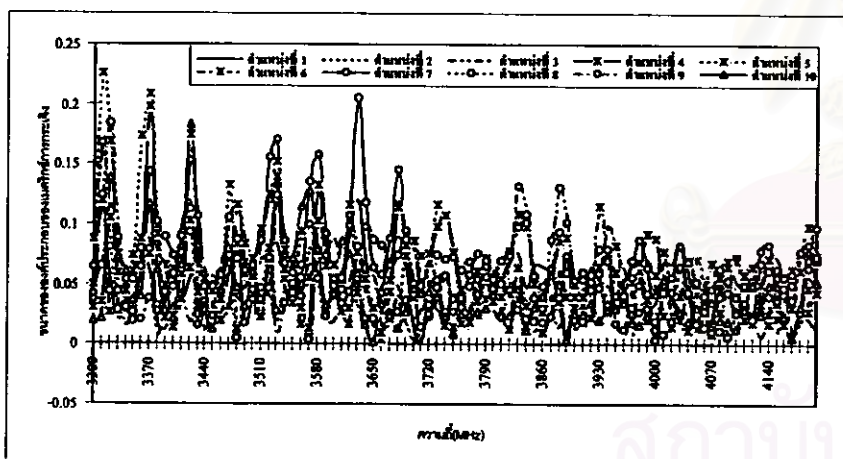
รูป จ.14 ความสัมพันธ์ระหว่างมุมไฟฟ้าของคลื่นกระแสเจิงกลับจากฝ่ายและความถี่



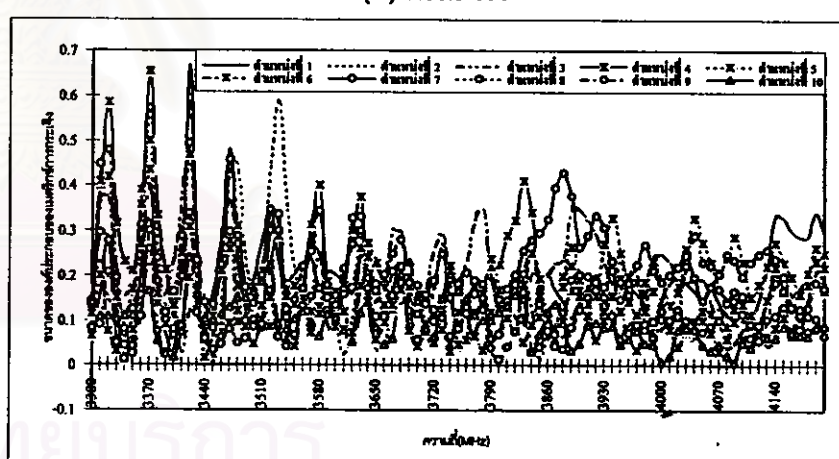
(g) กราฟ HH



(h) กราฟ VH

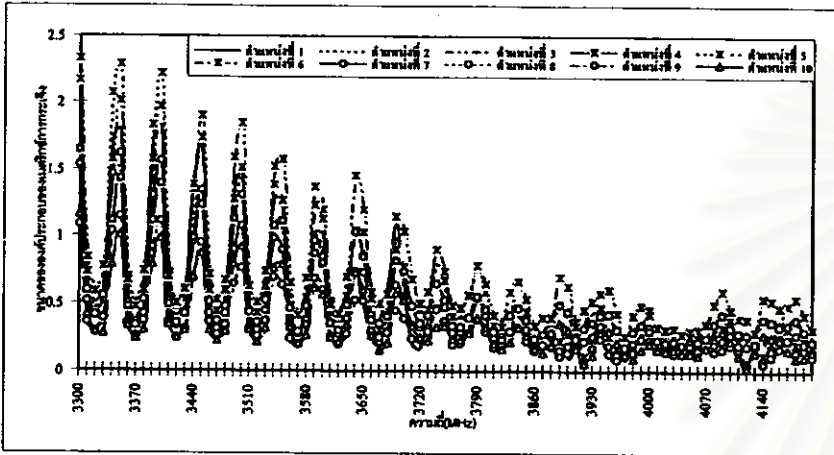


(i) กราฟ HV

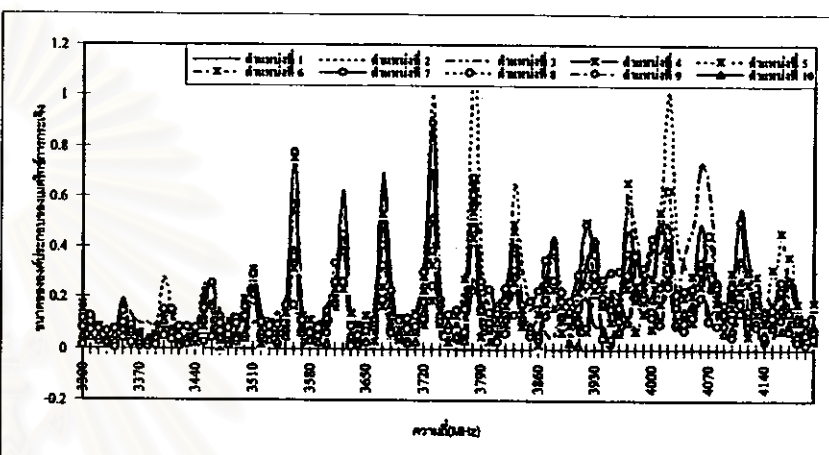


(j) กราฟ WV

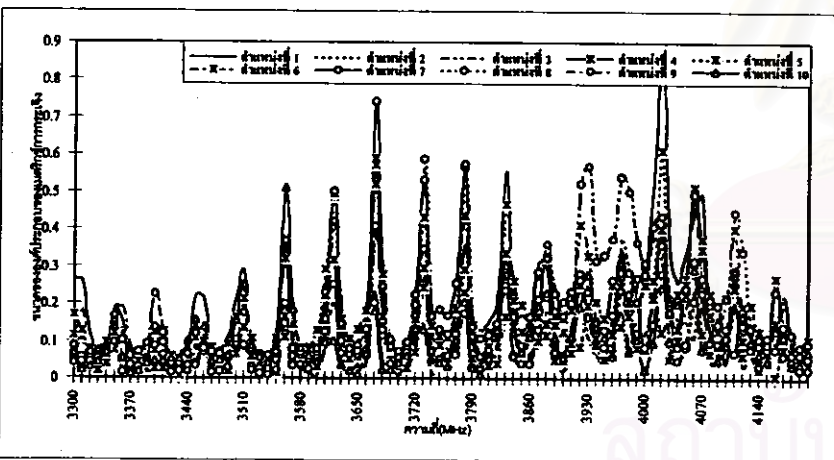
รูป 4.15 ความสัมพันธ์ระหว่างองค์ประกอบที่ 4 ของเมทริกซ์การกระจายเสียงกับคลื่นข้าวโพดและความถี่



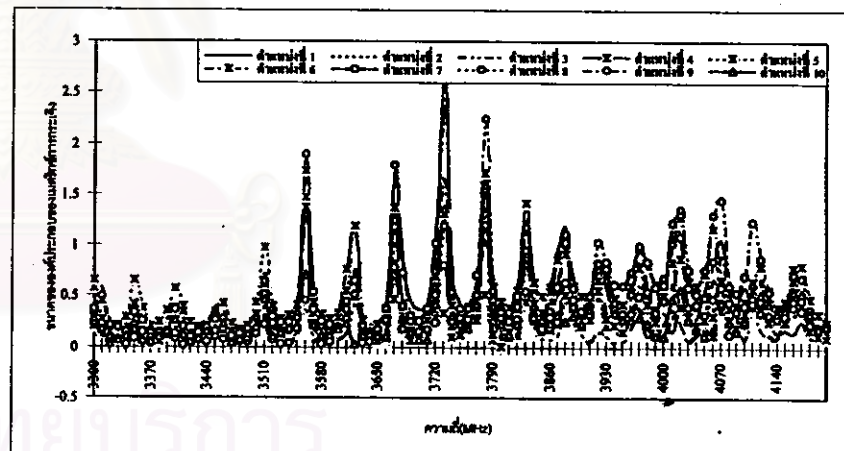
(ก) กราฟ HH



(h) กราฟ VH

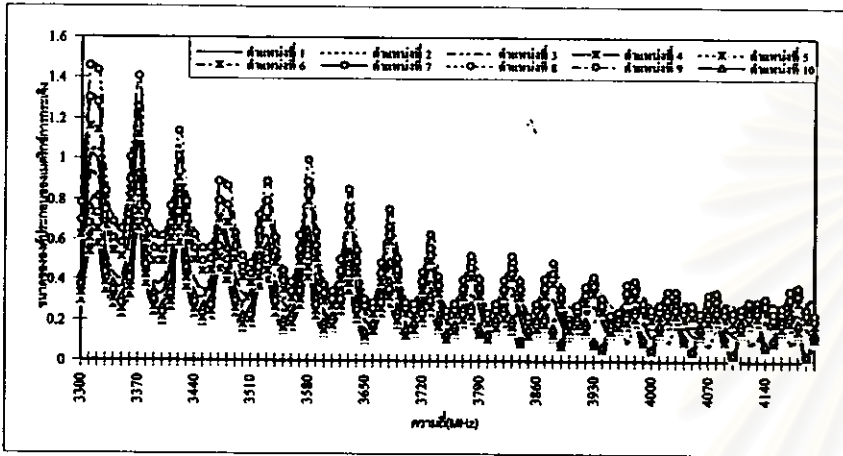


(i) กราฟ HV

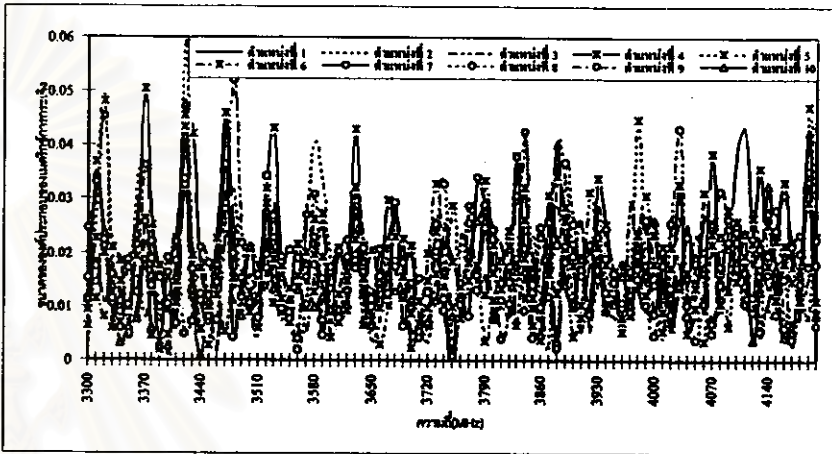


(j) กราฟ VV

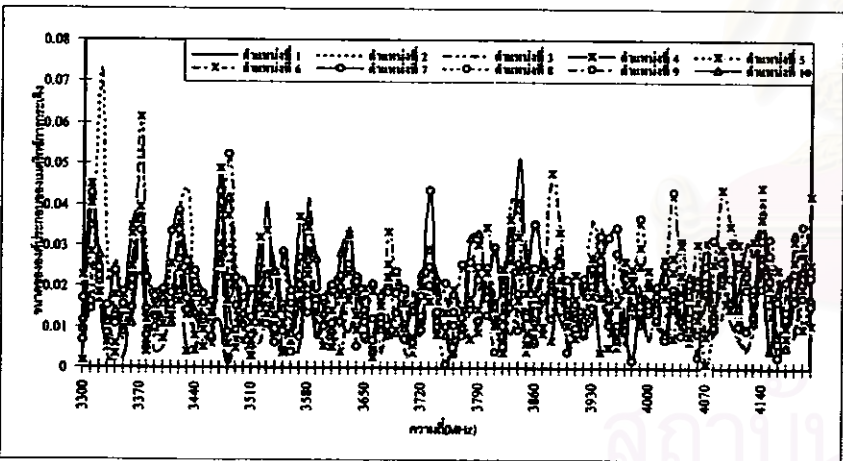
รูป จ.16 ความสัมพันธ์ระหว่างองค์ประกอบทั้ง 4 ของเมทริกซ์การกระเจิงกลับจากข้าวฟ่างและความถี่



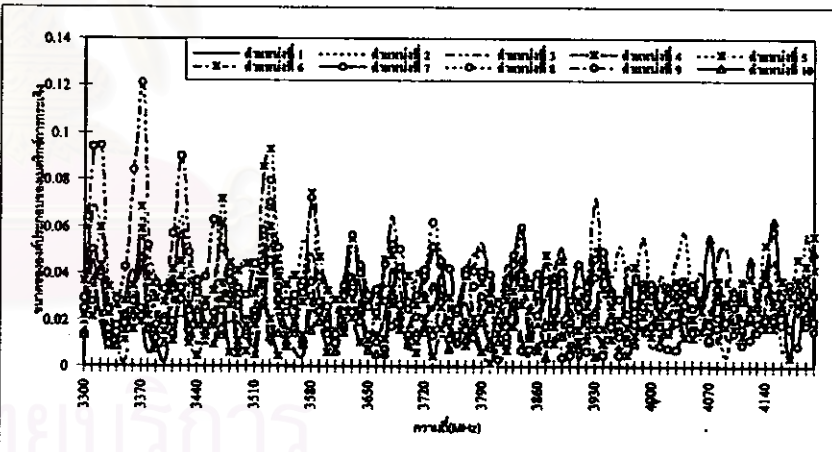
(ก) กราฟ HH



(ก) กราฟ VH

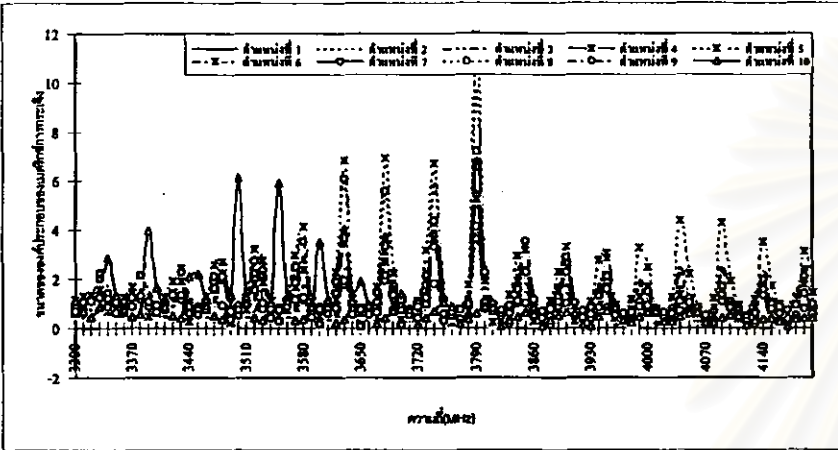


(x) กราฟ HV

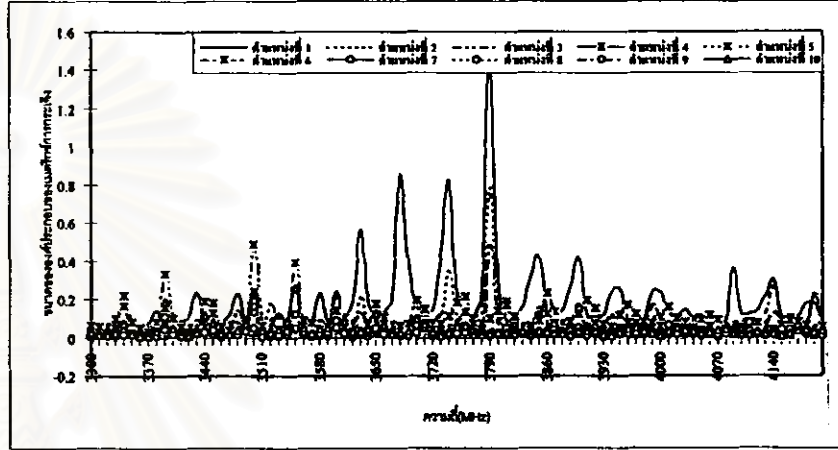


(v) กราฟ VV

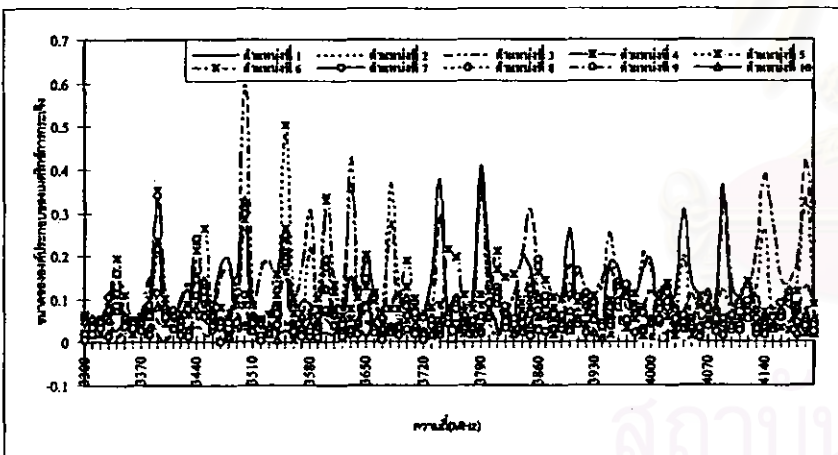
รูป 4.17 ความสัมพันธ์ระหว่างองค์ประกอบทั้ง 4 ของเมทริกซ์การกระเจิงกลับจากถ้าเหลืองและความถี่



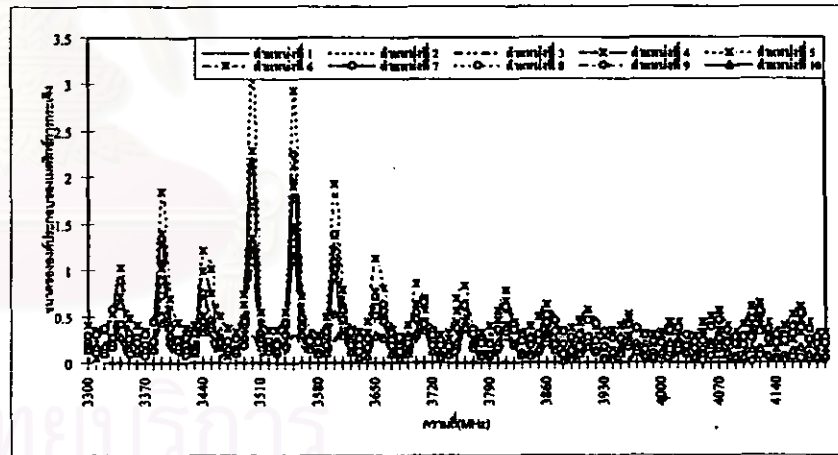
(ก) กราฟ HH



(น) กราฟ VH

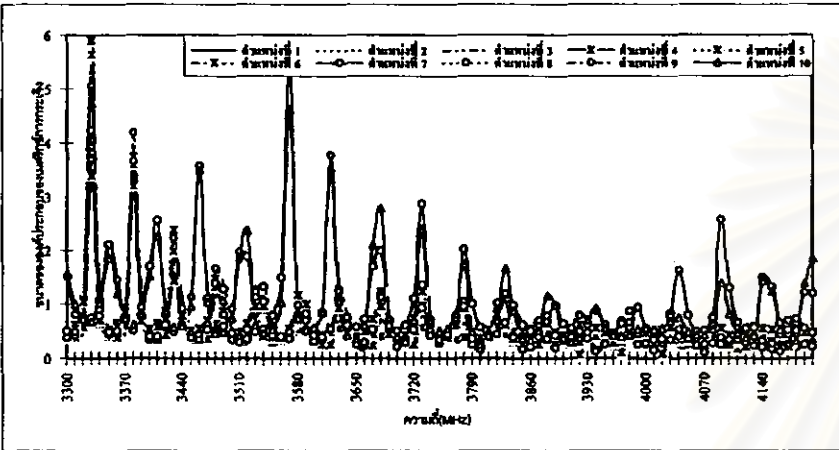


(ข) กราฟ HV

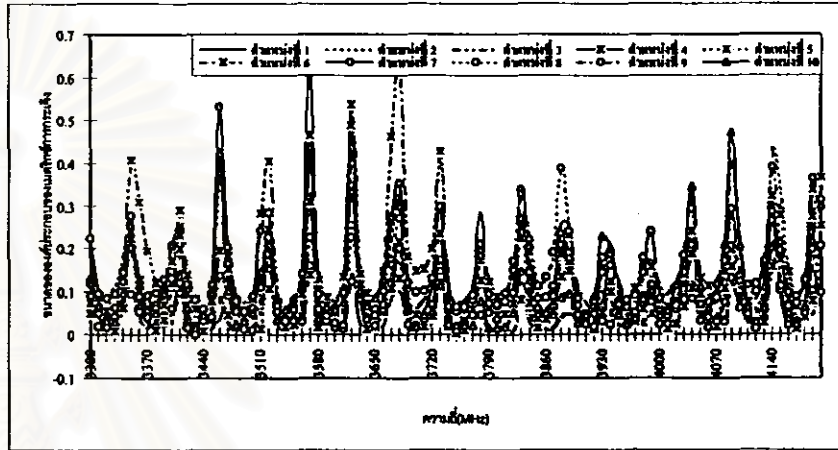


(ว) กราฟ VV

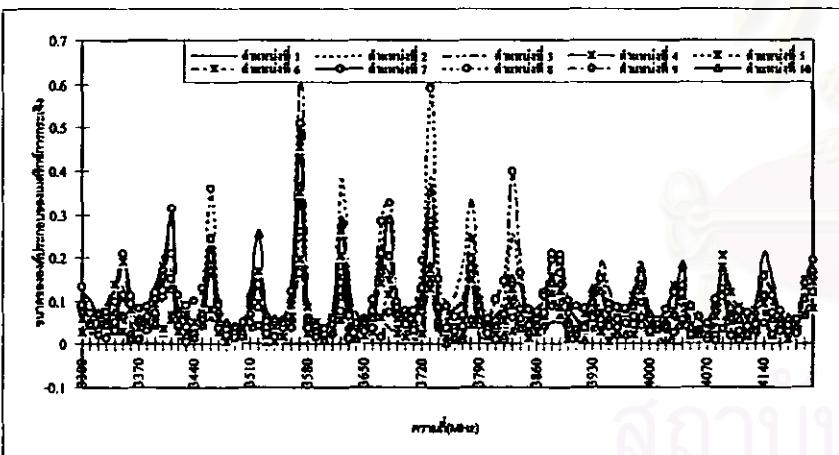
รูป ง.18 ความสัมพันธ์ระหว่างองค์ประกอบทั้ง 4 ของเมทริกซ์การกระเจิงกลับจากด้วยเสียงและความถี่



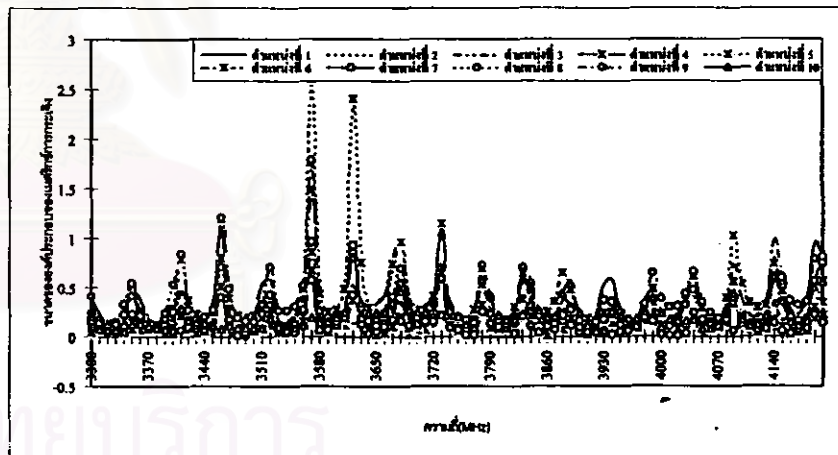
(ก) กราฟ HH



(น) กราฟ VH

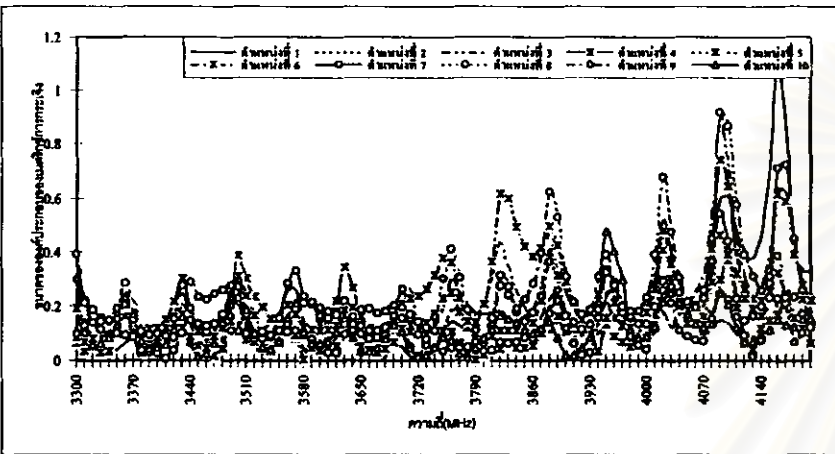


(ช) กราฟ HV

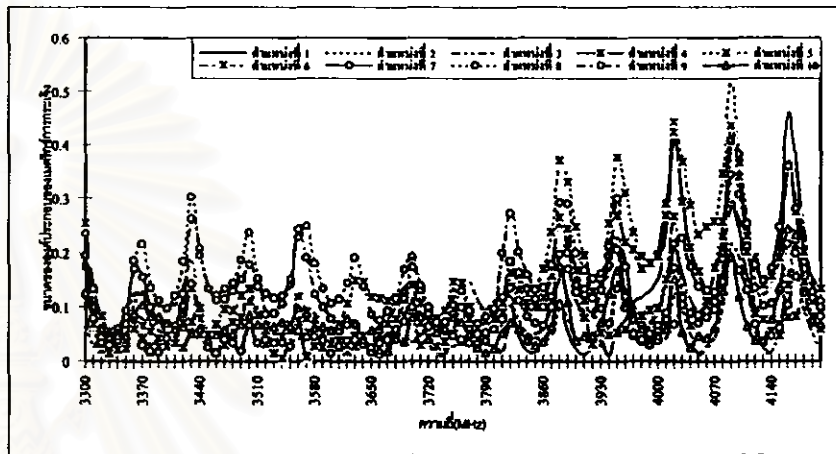


(q) กราฟ WV

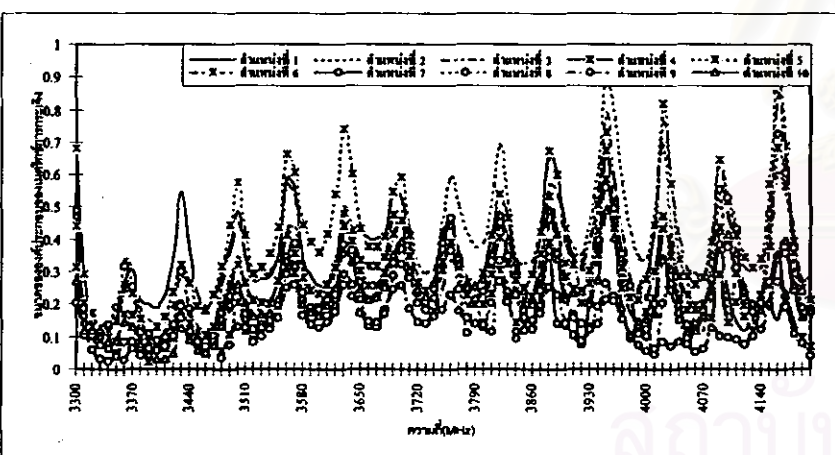
รูป 19 ความสมพันธ์ระหว่างองค์ประกอบทั้ง 4 ของเมทิริกซ์การกระเจิงกลับจากงานและความถี่



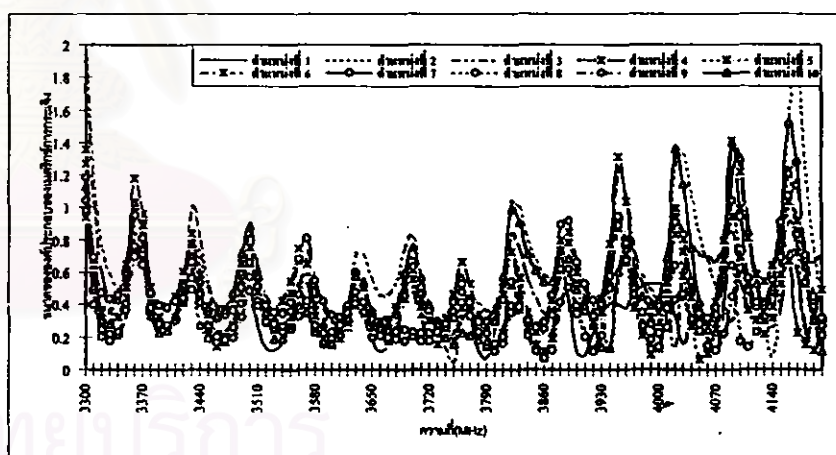
(ก) กราฟ HH



(ก) กราฟ VH

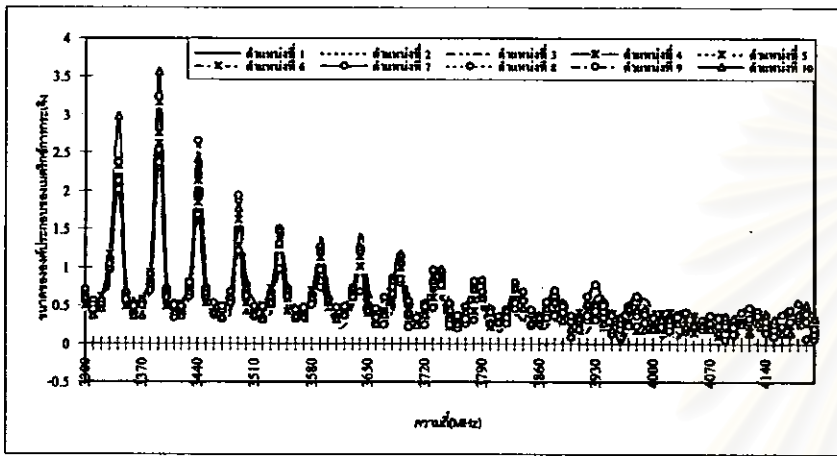


(ก) กราฟ HV

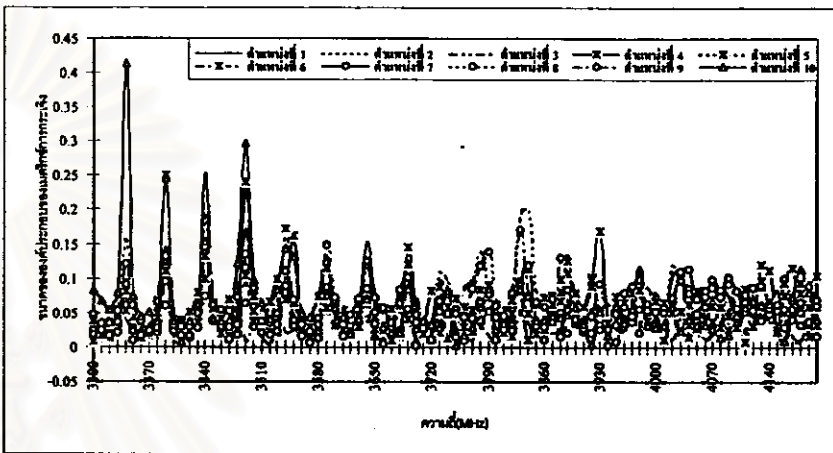


(ก) กราฟ VV

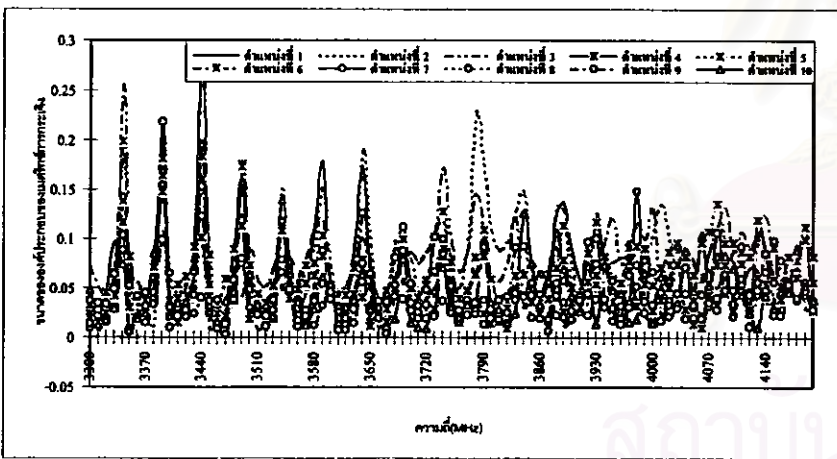
รูป ๔.20 ความสัมพันธ์ระหว่างองค์ประกอบที่ 4 ของเมทริกซ์การกระเจิงกลับจากท่านตะวันและความถี่



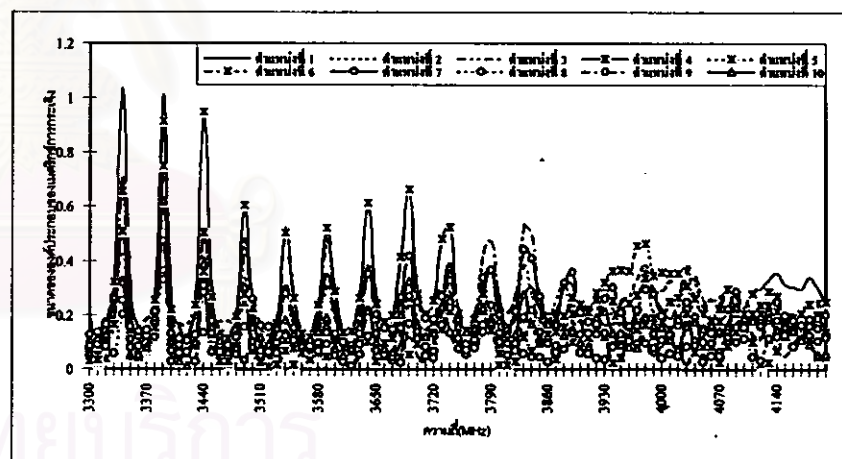
(ก) กราฟ HH



(ก) กราฟ VH



(ก) กราฟ HV



(ก) กราฟ WV

รูป จ.21 ความสมดุลระหว่างองค์ประกอบทั้ง 4 ของเมทิกซ์การกระเจิงกลับจากฝ่ายและความติด



ประวัติผู้เขียน

นาย พีระพงษ์ อุทารสกุล เกิดวันที่ 21 พฤษภาคม พศ. 2519 ที่เขตบางรัก จังหวัดกรุงเทพมหานคร สำเร็จการศึกษาปริญญาวิศวกรรมศาสตรบัณฑิต สาขาวิศวกรรมไฟฟ้า ภาควิชาวิศวกรรมไฟฟ้า คณะวิศวกรรมศาสตร์ จุฬาลงกรณ์มหาวิทยาลัย ในปีการศึกษา 2538 และเข้าศึกษาต่อในหลักสูตรวิศวกรรมศาสตรมหาบัณฑิต สาขาวิศวกรรมไฟฟ้า ภาควิชาวิศวกรรมไฟฟ้า คณะวิศวกรรมศาสตร์ จุฬาลงกรณ์มหาวิทยาลัย เมื่อปีการศึกษา 2539 โดยได้รับทุนอุดหนุนการศึกษาและวิจัย จากโครงการศิษย์เก่ากู้ภัย ของภาควิชาวิศวกรรมไฟฟ้า คณะวิศวกรรมศาสตร์ จุฬาลงกรณ์มหาวิทยาลัย

ในปี 2539 ได้ส่งบทความเรื่อง “การศึกษาเบื้องต้นเกี่ยวกับการแยกประเภทไฟฟ้า” ลงในการประชุมวิชาการทางวิศวกรรมไฟฟ้า เดือนพฤษจิกายน ครั้งที่ 19 ที่ดำเนินการจัดประชุมโดยภาควิชาวิศวกรรมไฟฟ้า คณะวิศวกรรมศาสตร์ มหาวิทยาลัยขอนแก่น

และในปี 2540 ส่งบทความเรื่อง “การแยกประเภทของเรขาคณิตด้วยการวัดการกระแส เซิงชั้ว” ลงในการประชุมวิชาการทางวิศวกรรมไฟฟ้า วันที่ 13-14 เดือนพฤษจิกายน ครั้งที่ 20 ที่ดำเนินการจัดประชุมโดยภาควิชาวิศวกรรมไฟฟ้า คณะวิศวกรรมศาสตร์ จุฬาลงกรณ์มหาวิทยาลัย

สถาบันวิทยบริการ
จุฬาลงกรณ์มหาวิทยาลัย